

## بررسی اثر دما، زمان، pH، غلظت عامل پوشاننده، نسبت مولی Zn به Se بر ریخت و تحولات فازی نانوذرات سلنید روی فرآوری شده به روش هیدروترمال

عباس زمانی، محمد رضا لقمان استرکی\*، سید رحمان حسینی، مظاہر رمضانی و امیر الحاجی

دانشگاه صنعتی مالک اشتر، دانشکده مهندسی مواد، اصفهان، شاهین شهر، ایران، صندوق پستی ۱۱۵-۱۴۵۱۳۱

(دریافت مقاله: ۱۳۹۹/۴/۲ - دریافت نسخه نهایی: ۱۳۹۹/۷/۲۲)

**چکیده-** هدف از این پژوهش، بررسی اثر دما، زمان، pH، غلظت عامل پوشاننده (مرکپتو استیک اسید)، نسبت مولی روی به سلنیوم و نسبت مولی سلنیوم به عامل احیا کننده (سدیم بور هیدرید) بر ریخت، تحولات فازی و اندازه ذرات سلنید ذرات روی تهیه شده به روش هیدروترمال است. مشخصه یابی نانوذرات سلنید روی به روش های میکروسکوپی الکترونی روبشی گسیل میدانی، طیف سنجی تفکیک انرژی پرتو ایکس، پراش سنجی پرتو ایکس، طیف سنجی پلاسمای جفت شده القایی، طیف سنجی تبدیل فوریه مادون قرمز و آنالیز حرارتی انجام شد. نتایج طیف سنجی تفکیک انرژی نشان داد که نسبت درصد اتمی روی به سلنیوم در نانوذرات سلنید روی منتخب، ۱:۱ است و عناصر به صورت یکنواخت در نانوذرات توزع شده اند. بر اساس نتایج طیف سنجی تبدیل فوریه مادون قرمز و آنالیز حرارتی همزمان، عامل پایدار کننده مرکپتو استیک اسید به نانوذرات سلنید روی متصل و موجب پایداری نانوذرات شده است. در نهایت، با حداقل دما (۱۳۰ درجه سانتی گراد) و زمان فرآوری (۱۵ ساعت)، کمترین مقدار عامل احیا کننده و عامل پوشاننده نسبت به پژوهش های قبلی؛ نانوذرات سلنید روی با اندازه ریز، توزیع اندازه باریک، ریخت کروی (متوسط اندازه حدود ۲۰ نانومتر) و ساختار بلوری مکعبی به دست آمد.

**واژه های کلیدی:** نانوذرات سلنید روی، هیدروترمال، عامل پوشاننده، مرکپتو استیک اسید.

## Influence of Temperature, Time, pH, Capping Agent Concentration and Zn/Se Molar Ratio on Morphology and Phase Evolution of Zinc Selenide Nanoparticles Synthesized by Hydrothermal Method

A. Zamani, M. R. Loghman Estraki\*, S. R. Hosseini, M. Ramezani and A. Al-Haji

Malek Ashtar University of Technology, Department of Materials Engineering, Isfahan, Shahinshahr,  
Postal code: 115-83145, Phone: 03145914271

**Abstract:** The aim of the study was to investigate the effect of temperature, time, pH, capping agent concentration (mercaptoacetic acid), Zn to Se and Se to reducing agent ( $\text{NaBH}_4$ ) mole ratios on morphology, phase developments and size of zinc selenide nanoparticles prepared by hydrothermal method. Characterization of zinc selenide nanoparticles was performed by Field Emission Electron Microscopy (FESEM), Energy Dispersive X-ray Spectrometry (EDS), X-ray Diffraction (XRD), Induced Coupled Plasma Spectrometry (ICP), Fourier Transform Infrared spectroscopy (FTIR) and Simultaneous Thermal Analysis (STA). The results

\*: مسئول مکاتبات، پست الکترونیکی: mrlestarki@mut-es.ac.ir

*of EDS showed that the ratio of atomic percentage of Zn to Se in the optimized zinc selenide nanoparticles is 1: 1 and elements are evenly distributed in the nanoparticles. Based on the results of FTIR and STA thermal analyses, MAA as the stabilizing agent binds to and stabilizes zinc selenide nanoparticles. Finally, fine nanoparticles of zinc selenide with narrow size distribution, spherical shape and cubic crystal structure were obtained at the minimum temperature (130 °C) and processing time (15 hours) with the least amount of reducing and capping agents compared to previous researches.*

**Keywords:** Zinc selenide nanoparticles, Hydrothermal, Coating agent, MAA.

در دما و فشار محیط، ساختار بلوری مکعبی از نظر انرژی پایدارتر است. در دماهای بالا نزدیک نقطه ذوب، فاز بلوری شش وجهی سلنید روی وجود دارد که با سرد کردن به فاز بلوری مکعبی تبدیل می شود. الگوی پراش پرتو ایکس نشان می دهد که این استحاله در دمای ۱۴۲۵ درجه سانتی گراد اتفاق می افتد [۳].

نانوبلورهای سلنید روی کاربردهای گسترهای در زمینه وسائل ساطع کننده نور، دیودهای لیزر آبی - سبز، سلولهای خورشیدی، حسگرها و مواد ثابت کننده نوری، لیزرهای با طول موج کوتاه، وسایل اپتوالکترونیکی و فتوالکترونیکی، منابع لیزر با مادون قرمز<sup>۱</sup> (IR) متوسط، ترانزیستورهای لایه نازک، نمایشگرهای تمام رنگی، دستگاههای الکترولومینسانس و بهخصوص پنجرههای مادون قرمز برای ساخت کلاهک موشك دارند [۴].

نانوذرات سلنید روی توسط روش های مختلفی تولید می شوند. یکی از این شیوه ها، فرآوری در حالت جامد مانند آسیاکاری است که مشکلاتی از جمله وارد شدن ناخالصی به محیط، توزیع گستره اندازه ذرات تولیدی و طولانی بودن زمان فرایند دارد. روش دیگر، فرآوری در حالت گازی است، مانند ستز فیزیکی بخار یا ستز شیمیایی بخار که به تجهیزات پیچیده ای نیاز دارد، سرعت تولید آن به نسبت کم است، بیشتر از مواد اولیه سمی استفاده می شود و هزینه تولید آن بالاست. نوع دیگر، استفاده از مایعات یا روش شیمیایی برای تهیه نانوذرات سلنید روی است. تولید نانوذرات سلنید روی به روش شیمیایی تر، این مزیت را دارد که امکان دستیابی به همگنی ترکیب شیمیایی در مقیاس مولکولی بسیار زیاد است.

در بسیاری از مطالعاتی که برای ستز نانوبلورهای سلنید روی به روش شیمی تر صورت گرفته است، از عوامل فعال کننده سطحی مانند تری اکتیل فسفین اکسید<sup>۲</sup> (TOPO)

## ۱- مقدمه

به تازگی تمایل گسترهای به تهیه سلنیدهای فلزی با توجه به خواص و کاربردهای بالقوه آنها شده است. سلنید روی (ZnSe) یک ماده نیمه هادی متشكل از گروه دو و شش جدول تناوبی عناصر است که به دلیل شکاف نواری پهن (۷/۲ الکترون ولت)، کارایی بالای لومنیسانس، ضریب جذب پایین و شفافیت مناسب در محدوده مادون قرمز؛ کاربردهای گسترهای مورد یکی از نیازهای صنایع اپتیک، ساخت مواد نیمه هادی مورد استفاده در پنجره های مادون قرمز از جمله سولفید روی و سلنید روی است. سلنید روی یک ماده مهم به عنوان میزبانی برای تشکیل نانوبلورهای آلایده شده است که انرژی پیوندی اکسیتلون بزرگ (۲۱ میلی الکترون ولت) دارد و نامزد ایده آلی به عنوان پوسته غیرآلی، برای انواع نیمه هادی های هسته - پوسته به منظور بهبود ثبات و خواص نشری هسته نانوبلورها است. این ترکیب دارای مقاومت بالا در برابر شوک حرارتی است و از نظر شیمیایی پایدار است [۱]. سلنید روی دارای چگالی ۵/۲۷ گرم بر سانتی متر مکعب، نقطه ذوب ۱۵۲۵ درجه سانتی گراد و مدلول یانگ ۶۷/۲ گیگاپاسکال است. سلنید روی در آب نامحلول است، اما با اسیدها واکنش می دهد و ترکیب سمی سلنید هیدروژن تولید می کند [۲]. سلنید روی دارای دو آلوتروپ بلند روی و ورتزیت به ترتیب با ساختارهای بلوری معروف به مکعبی و شش وجهی است. اتم ها در ساختار بلوری مکعبی به صورت ABCABC نظم گرفته اند، در حالی که در ساختار بلوری شش وجهی به صورت ABAB پشت سر هم قرار می گیرند. ثابت شبکه ساختار بلوری مکعبی،  $a = b = ۳/۹۹۶$  آنگستروم است. ثابت های شبکه ساختار بلوری شش وجهی  $c = ۶/۵۵۰$  آنگستروم و  $۵/۶۶۸۷$  آنگستروم می باشد.

عامل پوشاننده و کنترل کننده رشد نانوذرات استفاده می‌شود. در بعضی از پژوهش‌ها از پیش‌ماده‌های کلریدی  $ZnCl_2$  به عنوان منبع  $Zn^{2+}$  و  $SeCl_4$  به عنوان منبع  $Se^{2-}$  استفاده کرده‌اند که این پیش‌ماده‌ها باعث افزایش ناخالصی در محصول نهایی می‌شوند. هیدرید بور سدیم نسبت به سایر عوامل کاهنده دارای امتیازهای منحصر به‌فردی از جمله وزن اکسی والان پایین (۴/۷۳) گرم بر مول)، قدرت کاهنده‌گی بالا با پتانسیل کاهشی ۱/۲۷ ولت در مقابل الکترود هیدروژن، قابلیت کاهش نمک‌های فلزی هم در محلول‌های آبی و هم غیرآبی در هر pH است. اثر دما، زمان، pH، غلظت عامل پوشاننده (مرکپتواستیک اسید)، نسبت مولی روی به سلینیوم و نسبت مولی سلینیوم به عامل احیا کننده (هیدرید بور سدیم) بر ریخت، ساختار بلوری و اندازه ذرات، مورد بررسی قرار می‌گیرد. نمونه مناسب از لحاظ اندازه ذرات ریزتر، ریخت کروی‌تر، توزیع اندازه ذرات باریک‌تر و نوع فاز بلوری (مکعبی) انتخاب می‌شود.

## ۲- مواد و روش تحقیق

### ۲-۱- روش فرآوری

برای تهیه نانوذرات سلینید روی از روش هیدروترمال استفاده شد. مراحل ستز به ترتیب زیر انجام گرفت:

#### مرحله اول: آماده‌سازی پیش‌ماده‌ها

(الف) مقدار پنج میلی مول (۱۰۹۷ میلی گرم) استات روی در ۲۰ میلی لیتر آب مقطر دیونیزه حل شد. استات روی کاملاً در آب حل شد و محلول شفافی به‌دست آمد. همزدن محلول توسط همزن مغناطیسی با سرعت ۵۰۰ دور بر دقیقه به‌مدت ۱۵ دقیقه ادامه یافت.

(ب) مقدار ۰/۲ میلی لیتر مرکپتو استیک اسید به صورت قطره‌قطره به محلول فوق اضافه شد که محلول سفیدرنگ شد. سپس چهار میلی لیتر NaOH یک مولار به آن اضافه شد تا محلول کاملاً شفافی به‌دست آید. همزدن در این مرحله به‌مدت ۱۵ دقیقه با سرعت ۵۰۰ دور بر دقیقه ادامه یافت.

استفاده کرده‌اند. نانوبلورهای به‌دست آمده با این روش، تنها در حلال‌های آلی قابل حل هستند و باید در دماهای بالا (۲۵۰ تا ۳۶۰ درجه سانتی‌گراد) تولید شوند. علاوه بر این، TOPO بسیار سمی و گران‌قیمت است [۵]. برخی از محققان توانسته‌اند، نانوبلورهای سلینید روی را در حلال‌های آبی با استفاده از عامل پوشاننده، ستز کنند. عامل پوشاننده به سطح نانوبلور پیوند می‌خورد و از طریق ممانعت فضایی یا دافعه الکترواستاتیکی، نانوذره را پایدار می‌کند. برخی، از عوامل پوشاننده اسید آسکوربیک یا نشاسته استفاده کرده‌اند. این عوامل اگر چه از لحاظ اقتصادی مقرن به صرفه هستند و مشکلی برای محیط زیست ایجاد نمی‌کنند، ولی در دماهای بالا ناپایدارند و تجزیه می‌شوند [۶ و ۷].

فرایند هیدروترمال یکی از روش‌های تولید نانوذرات به روش شیمی تر است. این روش شامل گرم کردن واکنش دهنده‌ها در حلال خاص در یک سامانه فشار بالا مانند اتوکلاو است. برخی از پژوهشگران با استفاده از این روش توانسته‌اند نانوذرات سلینید روی با اشکال نامنظم تهیه کنند که متوسط قطر نانوذرات آگلومره شده، حدود یک میکرومتر است. علت این امر می‌تواند عدم استفاده از عامل پوشاننده باشد [۸]. برخی از پژوهشگران با استفاده از روش هیدروترمال و به کارگیری عامل پوشاننده ستیل تری‌متیل آمونیوم بروماید<sup>۴</sup> (CTAB) نانوذرات کروی و نانومیله‌هایی با اندازه میکرونی تهیه کرده‌اند. استفاده از عامل پوشاننده CTAB اگر چه باعث تولید نانوذرات کروی شده، اما گران‌قیمت است [۹]. برخی دیگر نیز به روش هیدروترمال و با استفاده از عامل پوشاننده سدیم دودسیل سولفات<sup>۵</sup> (SDS) نانوذرات سلینید روی تهیه کرده‌اند. این عامل پوشاننده باعث تشکیل ساختارهای تووده‌ای شکل و ذرات آگلومره، شده است [۱۰ و ۱۱].

در این پژوهش، از پیش‌ماده استات روی (Zn(Ac)<sub>2</sub>) به عنوان منبع  $Zn^{2+}$ ، از  $SeO_2$  به عنوان منبع  $Se^{2-}$ ، از هیدرید بور سدیم<sup>۶</sup> (NaBH<sub>4</sub>) به عنوان عامل احیا کننده، از NaOH به عنوان تنظیم کننده pH و از مرکپتو استیک اسید<sup>۷</sup> (MAA) به عنوان

به منظور حذف نمکهای ثانویه و نمکهای اولیه باقیمانده، رسوب تهشیش شده چندین مرتبه توسط آب مقطر و اتانول شستشو داده و سپس سانتریفیوژ شد. سانتریفیوژ با سرعت ۳۰۰۰ دور بر دقیقه به مدت ۱۰ دقیقه انجام شد.

**مرحله ششم: خشک کردن رسوب**  
رسوب باقیمانده، به مدت ۲۴ ساعت در دمای ۴۰ درجه سانتی گراد در آون قرار داده شد تا کاملاً خشک شود.

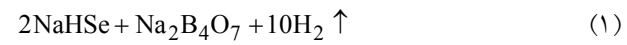
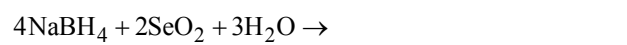
## ۲-۲- تجهیزات شناسایی

برای ریخت‌شناسی نانوذرات فرآوری شده، از میکروسکوپ الکترونی رویشی گسیل میدانی<sup>۸</sup> (FESEM) مدل MIRA3-XMU ساخت شرکت TESCAN کشور جمهوری چک، دارای نوکی از جنس تنگستن، واقع در مرکز پژوهش متالورژی رازی تهران استفاده شد. آشکارسازهای این میکروسکوپ شامل الکترون ثانویه<sup>۹</sup> (SE) با قدرت تفکیک ۵-۷ نانومتر و الکترون برگشتی<sup>۱۰</sup> (BSE) با قدرت تفکیک هشت نانومتر هستند. این میکروسکوپ مجهز به دستگاه طیف‌سنگی تفکیک انرژی پرتوایکس<sup>۱۱</sup> (EDS) مدل SDD ساخت شرکت SAMX کشور فرانسه برای بررسی نیمه‌کمی عناصر است. از این میکروسکوپ علاوه بر بررسی ریزساختار و تصویربرداری، برای تهیه آزمون نقطه‌ای و نقشه توزیع عناصر به روش طیف‌سنگی تفکیک انرژی پرتوایکس استفاده شد. به منظور بررسی میکروسکوپی، مقداری از پودر بر سطح چسب کربنی مخصوص قرار گرفت. برای رسانا کردن پودرهای، به کمک دستگاه پراکنش، لایه نازکی از طلا روی سطح نمونه‌ها نشانده شد. سپس نمونه‌ها در محفظه دستگاه در محل مخصوص (نشیمنگاه نمونه) قرار گرفت و تصویرسازی در شرایط خلاً انجام شد. به دلیل نیاز به تعیین محدوده اندازه ذرات در این مرحله، بررسی‌ها فقط در حالت تصویری ثانویه انجام گرفت. تصاویر مورد نیاز با ولتاژ ۱۵ کیلوولت در بزرگنمایی‌های ۵۰ هزار، ۱۰۰ هزار و ۲۰۰ هزار برابر و فاصله کاری ۲/۴۱ میلی‌متر تا ۵/۸۹ میلی‌متر تهیه شد. توزیع اندازه ذرات با استفاده از نرم‌افزار MIP4 Student نسخه یک به دست آمد.

ج) مقدار پنج میلی‌مول (۵۵۵ میلی‌گرم) اکسید سلنیوم به محلول فوق اضافه شد که محلول سفیدرنگ حاصل و به مدت ۱۵ دقیقه با سرعت ۵۰۰ دور بر دقیقه هم‌زده شد.

**مرحله دوم: آماده‌سازی عامل احیا کننده**  
مقدار سه میلی‌لیتر NaOH یک مولار به ۵۰ میلی‌لیتر آب مقطر دیونیزه اضافه و ۲۰ میلی‌لیتر (۷۵ میلی‌گرم) هیدرید بور سدیم (NaBH<sub>4</sub>) به آن اضافه شد و به مدت پنج دقیقه توسط همزن مغناطیسی با سرعت ۵۰۰ دور بر دقیقه هم‌زده شد. هیدرید بور سدیم کاملاً در آب حل شد.

**مرحله سوم: اضافه کردن عامل احیا کننده به پیش‌ماده‌ها**  
محلول حاصل از مرحله دوم به آرامی به محلول حاصل از مرحله اول اضافه شد. محلول‌ها واکنش داده و گاز H<sub>2</sub> از محلول خارج شد و محلول بهرنگ قرمز در آمد. سپس ۱۵ میلی‌لیتر سدیم هیدروکسید یک مولار به آن اضافه شد تا pH ۵۰۰ محلول ۱۲ شود. این مرحله به مدت ۱۵ دقیقه با سرعت ۵۰۰ دور بر دقیقه ادامه یافت. واکنش‌های انجام شده در این مرحله به صورت زیر است [۶]:



بوراکس یا بوره (Na<sub>2</sub>B<sub>4</sub>O<sub>7</sub>) یکی از مواد معدنی و از نمک‌های اسید بوریک است که به آسانی در آب حل می‌شود.

**مرحله چهارم: فرایند هیدروترمال**  
محلول آماده شده به ظرف اتوکلاو به ظرفیت ۱۰۰ میلی‌لیتر انتقال داده شد. درب ظرف اتوکلاو کاملاً محکم بسته شد و در دمای ۱۳۰ تا ۱۸۰ درجه سانتی گراد به مدت ۶ تا ۱۵ ساعت نگهداری شد.

**مرحله پنجم: شستشو و سانتریفیوژ رسوب**  
ظرف اتوکلاو از آون خارج شد و تا دمای محیط سرد شد.

با قطر حدود ۱۳ میلی متر و ضخامت حدود ۰/۷ میلی متر در آمد. قرص‌ها در داخل دستگاه قرار داده شد و طیف‌سنجی انجام گرفت. با مراجعه به پژوهش‌های قبلی که موقعیت ارتعاش پیوندهای مختلف و یا طیف مادون قرمز تبدیل فوریه نمونه‌های سلینید روی را بررسی کرده بودند، پیوندهای موجود در نمونه‌های سلینید روی شناسایی شد.

آزمون حرارتی همزمان<sup>۱۵</sup> (STA) نانوذرات سلینید روی، توسط دستگاه STA مدل STA6000 ساخت شرکت PerkinElmer کشور هلند واقع در دانشکده شیمی دانشگاه صنعتی مالک اشتر اصفهان در محدوده دمای ۹۰۰ تا ۳۰ درجه سانتی گراد در اتمسفر آرگون انجام شد. دقت اندازه‌گیری وزن سانسی از جنس اکسید آلومینیم ریخته شد و در جایگاه مورد توسط این دستگاه یک هزار میلی گرم است. طبق دستورالعمل دستگاه، وزن نمونه باید بین ۱۰ تا ۳۰ میلی گرم باشد، بنابراین، وزن پودر مورد ارزیابی، ۲۲ میلی گرم انتخاب شد. پودرهای داخل کروزهای از جنس اکسید آلومینیم ریخته شد و در جایگاه مورد نظر داخل دستگاه قرار داده شد. به‌منظور تعیین میزان کاهش وزن یا دمای تجزیه پیوندها، نرخ حرارت‌دهی پودرهای ۱۰ درجه سانتی گراد بر دقیقه انتخاب شد. سرد کردن پودرهای در کوره انجام شد.

### ۳- نتایج و بحث

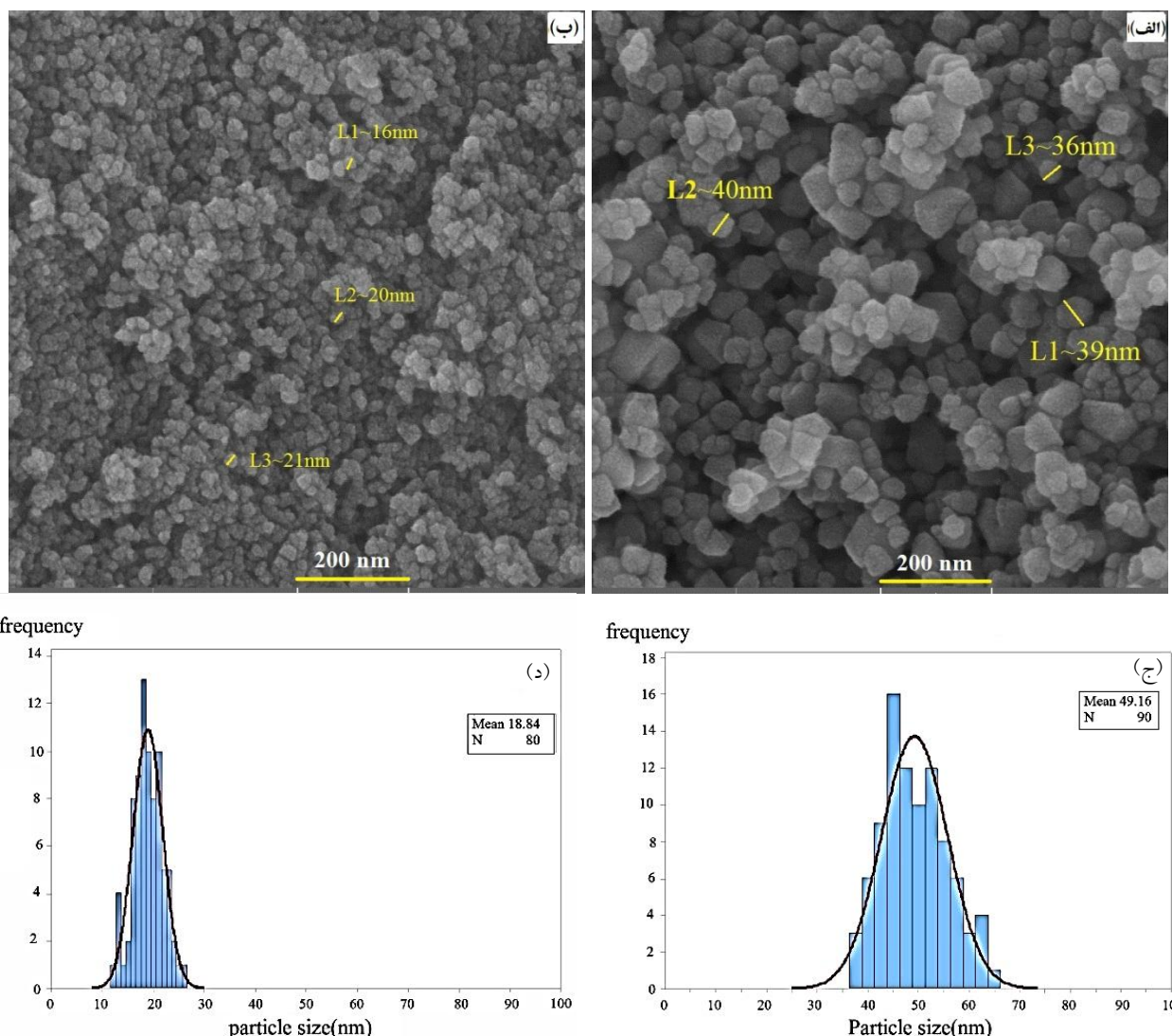
#### ۳-۱- تجزیه و تحلیل ریزساختارها

##### ۳-۱-۱- اثر دما و زمان ستز

شکل (۱) تصاویر میکروسکوپی الکترونی روبشی گسیل میدانی ذرات فرآوری شده به‌روش هیدروترمال در دمای ۱۸۰ درجه سانتی گراد به مدت ۶ ساعت و دمای ۱۳۰ درجه سانتی گراد به مدت ۱۵ ساعت به همراه نمودار توزیع اندازه ذرات را نشان می‌دهد. نسبت مولی پیش‌ماده‌ها  $\text{SeO}_2:\text{Zn}(\text{Ac})_2:\text{NaBH}_4 = 1:1:4$  پنج  $\text{SeO}_2$  پنج  $\text{Zn}(\text{Ac})_2$  و  $\text{NaBH}_4$  میلی‌مول، غلظت عامل پوشاننده ۰/۲ میلی لیتر و  $\text{pH} = ۱۲$  است. همان‌طور که مشاهده می‌شود، ذرات فرآوری شده بیشتر به شکل کروی هستند. قطر ذرات در دمای ۱۸۰ درجه سانتی گراد، ۳۷ تا ۶۵ نانومتر و متوسط قطر آنها حدود ۵۰ نانومتر است.

به‌منظور شناسایی فازهای ایجاد شده در نانوذرات، از دستگاه پراش‌سنج پرتو ایکس<sup>۱۶</sup> (XRD) مدل AW-DX300 ساخت شرکت ASENWARE کشور آلمان واقع در شهرک علمی تحقیقاتی اصفهان استفاده شد. این دستگاه مجهز به گونیومتر مدل تتا- تتا با شعاع کاری ۲۴۰ میلی متر، زاویه کاری ۰/۲ از صفر تا ۱۶۰ درجه و دارای آند مسی با طول موج ۱/۵۴۱۸۴ (Cu K $\alpha$ ) آنگستروم است. آزمون‌ها با ولتاژ ۴۰ کیلوولت، جریان ۳۰ میلی‌آمپر، اندازه گام ۰/۰۵ درجه، زمان هر ۲۵ گام یک ثانیه، در محدوده ۰/۲ از ۲۰ تا ۸۰ درجه و در دمای ۲۵ درجه سانتی گراد انجام شد. تعیین فازهای الگوی پراش پرتو ایکس توسط نرم‌افزار Xpert High Score 1.0d انجام شد. برای بررسی خلوص نانوذرات تهیه شده، از دستگاه طیف‌سنج پلاسمای جفت شده القایی<sup>۱۷</sup> (ICP) مدل ۷۳۵ ساخت شرکت Varian کشور آمریکا واقع در شرکت مطالعات مواد معدنی زرآزمای تهران استفاده شد. این دستگاه قادر است به صورت همزمان ۳۵ عنصر را با حد تشخیص ۰/۱ ppm برای عناصر مختلف، تشخیص دهد. برای آماده‌سازی نمونه، ابتدا پودرهای در داخل لوله تلفونی ریخته و با ترازوی مدل A 200 S ساخت شرکت Satorius analytic کشور آلمان با دقت یک‌دهم میلی گرم توزین شد. پس از توزین نمونه، مقدار مشخصی از اسید هیدروفلوریک، اسید پرکلریدریک و اسید نیتریک به نمونه اضافه شد و در محفظه Hot Box در دمای ۲۲۰ درجه سانتی گراد به مدت چهار ساعت قرار گرفت. سپس، نمونه تا دمای محیط خنک شد، با آب مقطر به حجم رسید و برای ارزیابی در داخل دستگاه، قرار داده شد.

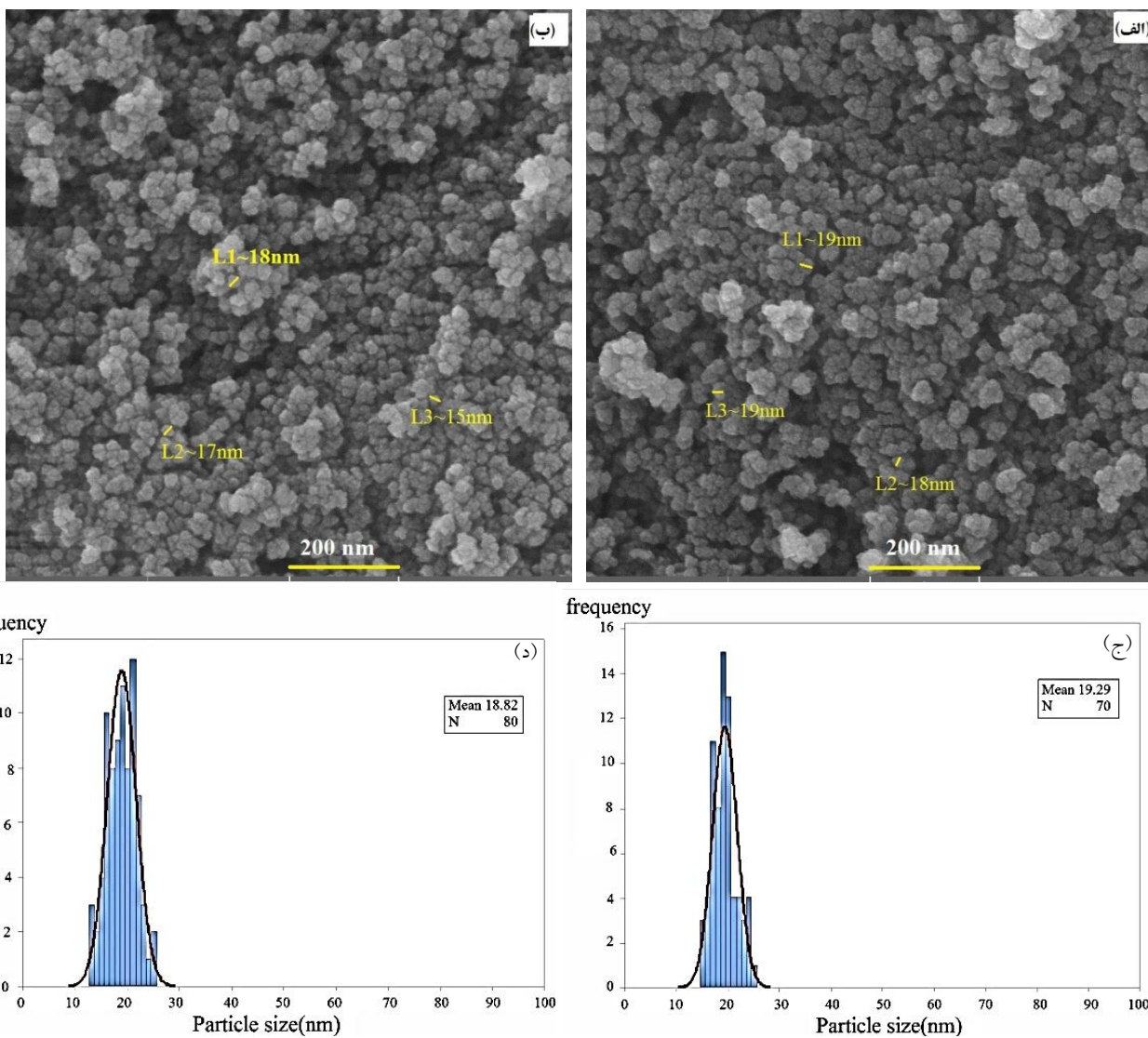
به‌منظور شناسایی کیفی و کمی ترکیبات آن نمونه‌ها، تعیین نوع گروه عاملی و بررسی پیوندهای ماده، از روش طیف‌سنجی مادون قرمز تبدیل فوریه<sup>۱۸</sup> (FTIR) استفاده شد. این آزمون توسط دستگاه طیف‌سنج مادون قرمز تبدیل فوریه مدل IR550 Nicolet Magna spectrometer ساخت شرکت Nicolet Canada در محدوده ۴۰۰۰ تا ۴۰۰ برعسانی متر واقع در آزمایشگاه دانشکده شیمی دانشگاه صنعتی اصفهان انجام شد. پودر مورد نظر با ماده برومید پتابسیم (KBr) مخلوط شد و توسط پرس به‌شکل قرص



شکل ۱- تصاویر میکروسکوپی الکترونی روبشی گسیل میدانی ذرات فرآوری شده: (الف) در دمای  $180^{\circ}\text{C}$  درجه سانتی گراد به مدت ۶ ساعت، (ب) در دمای  $130^{\circ}\text{C}$  درجه سانتی گراد به مدت ۱۵ ساعت، (ج) نمودار توزیع اندازه ذرات در دمای  $180^{\circ}\text{C}$  درجه سانتی گراد به مدت ۶ ساعت و (د) نمودار توزیع اندازه ذرات در دمای  $130^{\circ}\text{C}$  درجه سانتی گراد به مدت ۱۵ ساعت

بنابراین، می‌توان نتیجه گرفت که با افزایش دمای سستر از  $130^{\circ}\text{C}$  تا  $150^{\circ}\text{C}$  درجه سانتی گراد، تغییر محسوسی در اندازه، ریخت و توزیع نانوذرات بوجود نمی‌آید. بنابراین، در این محدوده دمایی، ذرات رشد قابل توجهی ندارند. اما با افزایش دما تا  $180^{\circ}\text{C}$  درجه سانتی گراد، اندازه ذرات بزرگتر و توزیع آنها گستردتر شده است [۱۱ و ۱۳]. بنابراین رشد ذرات در بالاتر از دمای  $150^{\circ}\text{C}$  درجه سانتی گراد شروع شده و باعث تغییر در اندازه و توزیع ذرات شده است.

قطر ذرات در دمای  $130^{\circ}\text{C}$  درجه سانتی گراد،  $12$  تا  $25$  نانومتر، با متوسط اندازه  $20$  نانومتر است و توزیع اندازه ذرات باریک است. شکل (۲) تصاویر میکروسکوپی الکترونی روبشی گسیل میدانی در دمای  $140^{\circ}\text{C}$  و  $150^{\circ}\text{C}$  درجه سانتی گراد به مدت ۱۵ ساعت به همراه نمودار توزیع اندازه ذرات را نشان می‌دهد. متوسط قطر ذرات و توزیع آنها در این تصاویر تقریباً شبیه به دمای  $130^{\circ}\text{C}$  درجه سانتی گراد است.



شکل ۲- تصاویر میکروسکوپی الکترونی روبشی گسیل میدانی نانوذرات فرآوری شده: (الف) در دمای ۱۴۰ درجه سانتی گراد به مدت ۱۵ ساعت، (ب) در دمای ۱۵۰ درجه سانتی گراد به مدت ۱۵ ساعت، (ج) نمودار توزیع اندازه ذرات در دمای ۱۴۰ درجه سانتی گراد به مدت ۱۵ ساعت و (د) نمودار توزیع اندازه ذرات در دمای ۱۵۰ درجه سانتی گراد به مدت ۱۵ ساعت

و فوق اشباع آنی در محلول ایجاد کند. بنابراین، عامل احیا کننده هیدرید بور سدیم با توجه به پتانسیل احیاکنندگی بالای این عامل، توانایی احیای بالای Se و ایجاد فوق اشباع یون‌های  $\text{Se}^{2-}$  را دارد. بنابراین با افزایش فوق اشباع،  $\Delta G$  تغییرات انرژی آزاد گیبس،  $\Delta G^\circ$ ، افزایش می‌یابد و نیروی محرکه بیشتری برای جوانهزنی به وجود خواهد آمد. با افزایش  $\Delta G^\circ$ ، کاهش می‌یابد و اندازه ذرات شعاع بحرانی جوانهزنی،  $r^*$ ،

درباره پژوهش حاضر سازوکارهای دستیابی به نانوذرات سلینید روی با اندازه‌های کوچک، توزیع اندازه یکنواخت و بدون آگلومرشن، عبارتند از:

(الف) به منظور تشکیل نانوذرات، باید محلول فوق اشباع تهیه شود. فوق اشباع بالا یعنی غلظت یون‌های  $\text{Se}^{2-}$  زیاد باشد. به این منظور باید یک عامل احیا کننده قوی به محیط اضافه شود تا تمامی اتم‌های  $\text{Se}^{+4}$  (از پیش‌ماده  $\text{SeO}_2$ ) را به  $\text{Se}^{2-}$  تبدیل کند

د- سازوکار پایدارسازی نانوذرات به منظور ممانعت از کلوخه‌ای شدن، هر دو سازوکار پایدارسازی الکترواستاتیک و پایدارسازی فضایی است. به عبارتی سازوکار پایدارسازی الکترواستریک، از کلوخه‌ای شدن نانوذرات جلوگیری می‌کند. عامل پایدار کننده مرکپتو استیک اسید با لنگر انداختن<sup>۱۶</sup> روی سطح نانوذرات سلینید روی به عنوان یک سد نفوذی در برابر رشد گونه‌ها عمل می‌کند و با ایجاد لایه پوشاننده، مانع کلوخه‌ای شدن ذرات می‌شود. همچنین، این پایدار کننده با ایجاد بار منفی از سری که به نانوذرات متصل نیست ( $\text{COO}^-$ )، باعث ایجاد دافعه الکترواستاتیک بین ذرات می‌شود.

### ۲-۱-۳- اثر غلظت عامل پایدار کننده

تصاویر میکروسکوپی الکترونی روبشی گسیل میدانی نانوذرات فرآوری شده در دمای ۱۳۰ درجه سانتی‌گراد و زمان ۱۵ ساعت، به همراه نمودار توزیع اندازه ذرات در غلظت‌های مرکپتو استیک اسید ۰/۱ و ۰/۲ میلی‌لیتر در شکل (۳) نشان داده شده است. در این آزمون نسبت پیش‌ماده‌ها ۱:۱:۴  $\text{SeO}_2:\text{Zn}(\text{Ac})_2:\text{NaBH}_4$  می‌باشد. پنج میلی‌مول و ۱۲ pH=۱۲ انجام گرفت. در تصویر (۳-الف)، اندازه ذرات ۳۴ تا ۶۸ نانومتر و متوسط اندازه آنها ۴۹ نانومتر به دست آمد. در تصویر (۳-ب)، شکل ذرات کروی، اندازه آنها ۱۲ تا ۲۶ نانومتر و متوسط اندازه آنها ۱۹ نانومتر است.

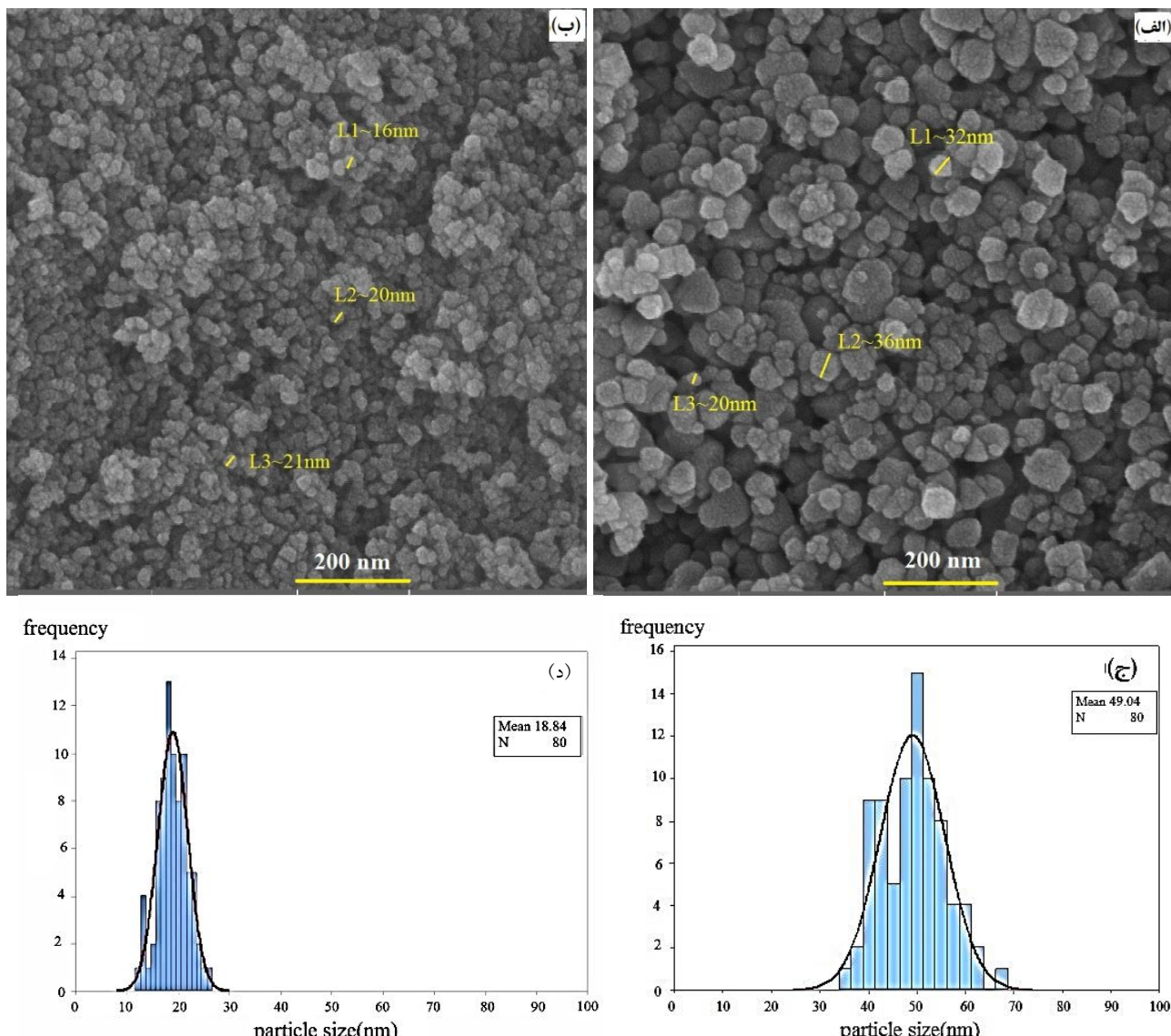
با مقایسه نمودار توزیع اندازه ذرات در شکل‌های (۳-ج) و (۳-د) مشاهده می‌شود که با افزایش غلظت عامل پایدار کننده از ۰/۱ میلی‌لیتر به ۰/۲ میلی‌لیتر متوسط اندازه ذرات، کمتر و توزیع اندازه ذرات، باریک‌تر شد. دلیل این موضوع، تأثیر عامل پوشاننده مرکپتو استیک اسید بر رشد ذرات و محدود کردن اندازه نانوذرات است [۱۴، ۱۵ و ۱۶]، به طوری که با افزایش غلظت عامل پوشاننده (از ۰/۱ به ۰/۲ میلی‌لیتر)، متوسط اندازه ذرات از حدود ۴۹ نانومتر به حدود ۱۹ نانومتر کاهش یافت.

کاهش خواهد یافت. همچنین با افزایش فوق اشباع، تعداد زیادی از جوانه‌ها تشکیل می‌شود. در غلظت معینی از حل شونده، تعداد زیاد جوانه‌ها به معنای جوانه‌های کوچک‌تر است. با توجه به نمودار لمر، هنگامی که غلظت حل شونده به صورت تابعی از زمان افزایش می‌یابد، هیچ فرایند جوانه‌زنی حتی در بالای غلظت قابلیت حل شوندگی تعادلی ( $C_s$ ) رخ نخواهد داد، تا زمانی که مقدار فوق اشباع به یک مقدار مشخصی بالاتر از  $C_s$  برسد که این مقدار مربوط به سد انرژی لازم برای تشکیل جوانه‌های رشد کاسته می‌شود و انرژی آزاد گیبس کاهش می‌یابد. هنگامی که غلظت، تا زیر غلظت ویژه که مربوط به انرژی بحرانی است، کاهش می‌یابد، دیگر هیچ جوانه‌ای شکل نمی‌گیرد، در حالی که فرایند رشد تا جایی که غلظت گونه‌های رشد به غلظت تعادلی ( $C_s$ ) برسد، پیشرفت خواهد کرد. بنابراین تمام جوانه‌ها دارای رشد یکسانی خواهند بود و در نتیجه نانوذرات با توزیع اندازه یکنواخت به دست می‌آید [۱۲].

ب- با توجه به اینکه در فرایند هیدرورتمال، فشار سامانه بالاتر از فشار اتمسفر است، بنابراین عامل پایدار کننده مرکپتو استیک اسید خاصیت پوشانندگی و کیلیت‌کنندگی بهتری از خود نشان می‌دهد و باعث ریزتر شدن اندازه ذرات می‌شود.

ج- برای دستیابی به نانوذرات با توزیع اندازه یکنواخت دو روش وجود دارد: رشد نفوذ- محدود و رشد سطح- محدود از نوع رشد چند‌هسته‌ای.

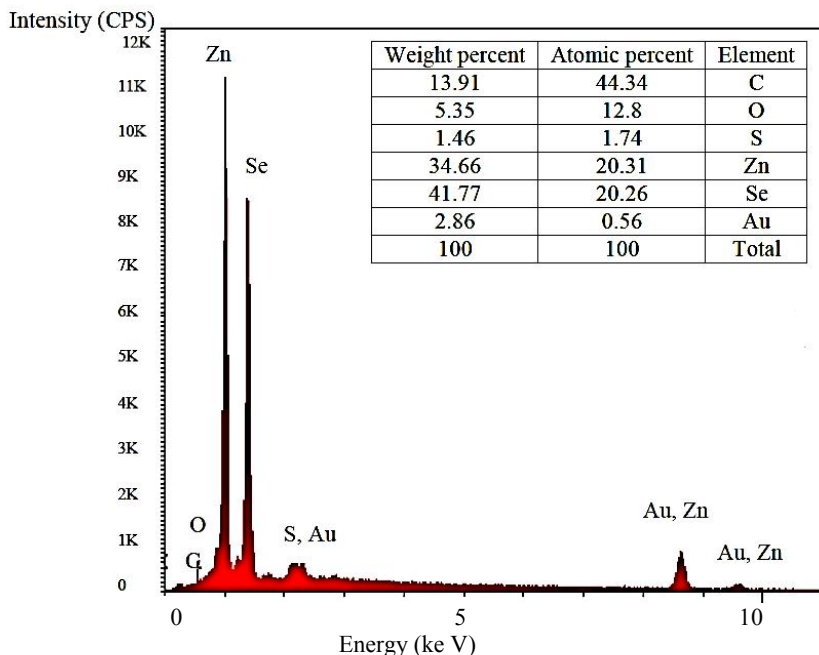
با توجه به اینکه غلظت گونه‌های رشد در توده بسیار زیاد است و فوق اشباع زیادی به وجود می‌آید، سازوکار رشد، رشد نفوذ- محدود نخواهد بود. زیرا رشد نفوذ- محدود، هنگامی به وجود می‌آید که غلظت گونه‌ها در مقادیر بسیار پایین نگه داشته شود و فاصله نفوذ زیاد باشد که در نتیجه نفوذ، مرحله محدود کننده می‌شود. بنابراین سازوکار رشد در پژوهش حاضر، رشد سطح- محدود از نوع رشد چند‌هسته‌ای خواهد بود که موجب دستیابی به نانوذرات با توزیع اندازه یکنواخت می‌شود [۱۲].



شکل ۳- تصاویر میکروسکوپی الکترونی روبشی گسیل میدانی نانوذرات با غلظت مرکپتو اسید: (الف) ۱٪ میلی لیتر، (ب) ۲٪ میلی لیتر، (ج) نمودار توزیع اندازه ذرات با غلظت مرکپتو اسید ۱٪ میلی لیتر و (د) نمودار توزیع اندازه ذرات با غلظت مرکپتو اسید ۲٪ میلی لیتر

کربنی و لایه پوششی طلاست که برای آماده سازی نمونه استفاده شده است. وجود عنصر اکسیژن احتمالاً به دلیل اکسید شدن نمونه یا وجود ناخالصی  $ZnO$  یا عامل پوشاننده مرکپتو اسید اسید و وجود عنصر گوگرد به دلیل استفاده از این عامل پوشاننده است. برای بررسی توزیع عناصر در نانوذرات فراوری شده، از آنالیز نقشه برداری پرتو ایکس استفاده شد. در شکل (۵) نقشه پرتو ایکس عناصر روی و سلنیوم در نانوذرات سنتز شده در بزرگنمایی ۵۰ هزار برابر نشان داده شده است.

۲-۳- تحلیل نتایج طیف‌سنجی تفکیک انرژی پرتو ایکس در شکل (۴) نتایج طیف‌سنجی تفکیک انرژی پرتو ایکس نانوذرات فرآوری شده در دمای سنتز  $130^{\circ}\text{C}$  درجه سانتی گراد به مدت ۱۵ ساعت نشان داده شده است. شرایط نمونه سنتز شده عبارتند از:  $\text{SeO}_2:\text{Zn}(\text{Ac})_2:\text{NaBH}_4 = 1:1:4$  پنج میلی مول،  $\text{pH} = 12$ . نسبت درصد اتمی عناصر در ذرات فرآوری شده،  $\text{Zn}/\text{Se} = 1:0.99$  به دست آمد. وجود عناصر کربن و طلا در شکل (۴) به دلیل استفاده از چسب



شکل ۴- آالیز طیف‌سنجی پرتو ایکس از نانوذرات در دمای ۱۳۰ درجه سانتی‌گراد به مدت ۱۵ ساعت

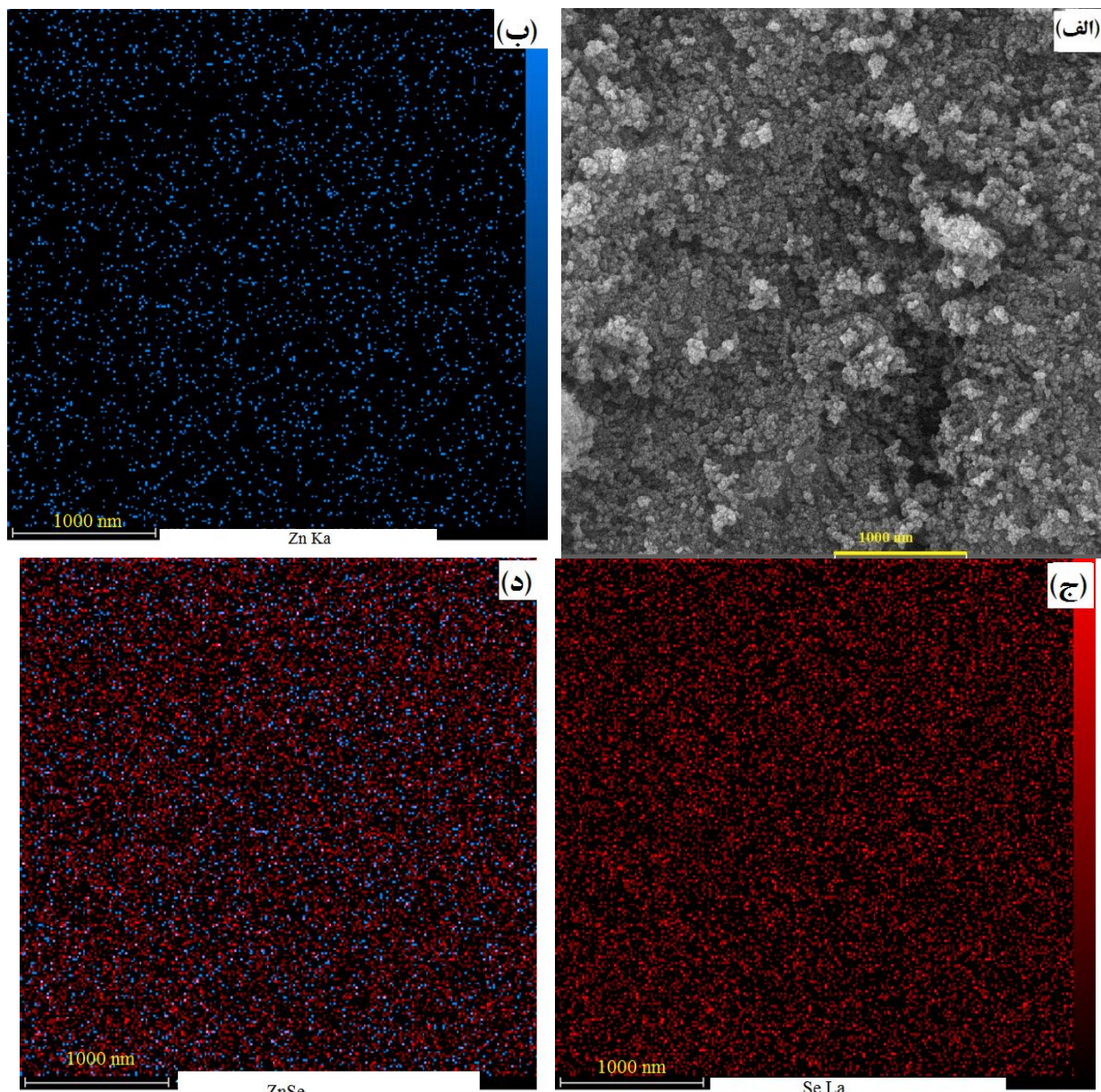
۱۲۰ درجه سانتی‌گراد بررسی شد. نتایج پراش‌سنجی پرتو ایکس نشان می‌دهد که سنتز در دمای ۱۵۰ درجه سانتی‌گراد منجر به ایجاد فاز بلوری غالب سلینید روی شد. قله‌های تفرق زوایای ۴۳/۴۳، ۴۹/۴۷، ۵۳/۹۴، ۶۶/۳۹ و ۷۳/۱۵ درجه دارند، که منطبق با قله‌های صفحات بلوری (۱۱۱)، (۱۱۱)، (۳۱۱)، (۴۰۰) و (۳۳۱) فاز سلینید روی با ساختار بلوری مکعبی (JCPCS, No.00-005-0522) با ثابت شبکه ۵/۶۶۷ آنگستروم است. نتایج الگوهای پراش در دماهای ۱۴۰ و ۱۳۰ درجه سانتی‌گراد نیز نشان می‌دهد که فاز سلینید روی غالب تشکیل شد، اما در دمای ۱۲۰ درجه سانتی‌گراد، به‌غیر از فاز سلینید روی، فاز ZnO نیز به وجود آمد. بنابراین می‌توان نتیجه گرفت که دمای بحرانی برای تشکیل فاز غالب سلینید روی در زمان ۱۵ ساعت، ۱۳۰ درجه سانتی‌گراد است و در کمتر از این دما، فازهای دیگری همراه با سلینید روی تشکیل می‌شوند. با توجه به اینکه کاهش دمای سنتز، منجر به کاهش هزینه‌های تولید خواهد شد، در این پژوهش نانوذرات سلینید روی خالص، در حداقل دمای سنتز به دست آمد.

در این آزمون دما ۱۳۰ درجه سانتی‌گراد، زمان ۱۵ ساعت، نسبت مولی پیش‌ماده‌ها  $\text{SeO}_2:\text{Zn}(\text{Ac})_2:\text{NaBH}_4 = 1:1:4$  بود. پنج میلی‌مول، مرکپتو استیک اسید ۰/۲ میلی‌لیتر و  $\text{pH} = ۱۲$  بود. مشاهده می‌شود عناصر روی و سلنیوم به صورت یکنواخت در نانوذرات توزیع شده‌اند و هیچ تجمعی از عناصر در تصاویر دیده نمی‌شود. دلیل این موضوع یکی استفاده از نسبت مولی یکسان پیش‌ماده‌های روی و سلنیوم است. نکته دیگر، استفاده از مقدار عامل احیا کننده مناسب است. عامل احیا کننده هیدرید بور سدیم با توجه به پتانسیل احیاکننده قوی، باعث احیای کامل سلنیوم در پیش‌ماده  $\text{SeO}_2$  شده و  $\text{Se}^{2-}$  کافی را برای تهیه نانوذرات سلینید روی با توزیع یکنواخت، فراهم می‌آورد.

### ۳-۳-۱- تحلیل الگوهای پراش پرتو ایکس

#### ۳-۳-۲- اثر دمای سنتز

شکل (۶) اثر دمای سنتز بر نوع فاز ایجاد شده را نشان می‌دهد. در این آزمایش‌ها، نسبت مولی  $\text{SeO}_2:\text{Zn}(\text{Ac})_2:\text{NaBH}_4 = 1:1:4$  بود. پنج میلی‌مول، مرکپتو استیک اسید ۰/۲ میلی‌لیتر،  $\text{pH} = ۱۲$  و زمان سنتز ۱۵ ساعت بود. سنتز در دماهای ۱۴۰، ۱۵۰ و ۱۳۰ درجه سنتز در کمتر از ۱۵ ساعت انجام شد.

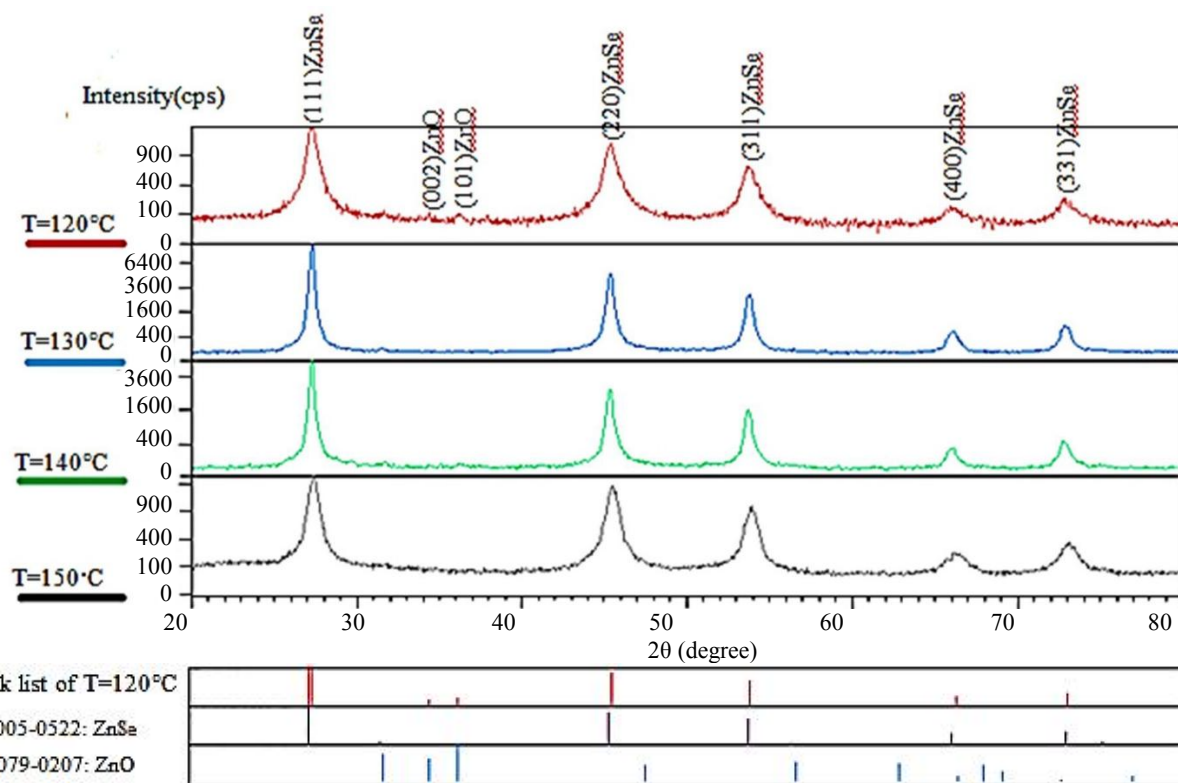


شکل ۵- (الف) تصویر میکروسکوپی الکترونی روبشی، ب) آنالیز نقشهبرداری پرتو ایکس از عنصر روی، ج) سلینیوم و د) روی و سلینیوم

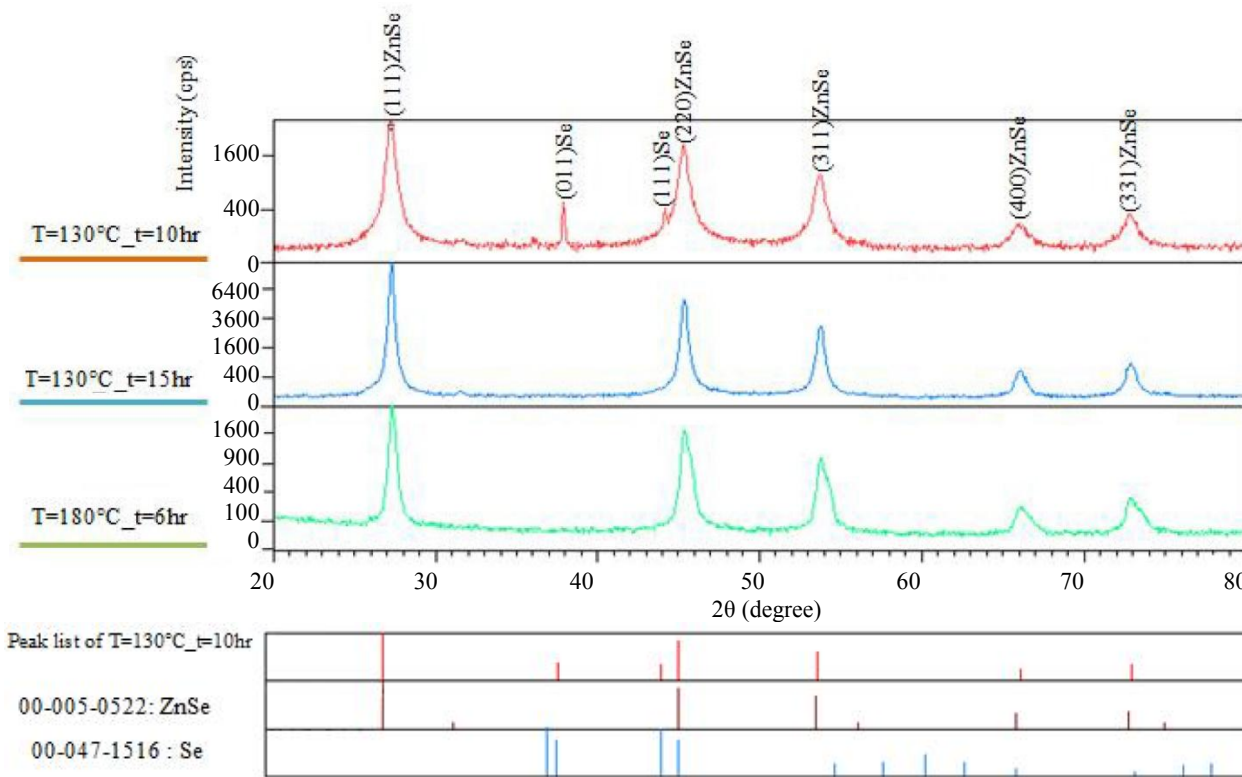
است و فاز سلینید روی شروع به شکل‌گیری می‌کند. با افزایش زمان تا ۱۰ ساعت، شدت قله‌های Se کمتر و بر شدت قله‌های سلینید روی افزوده شد. در زمان ۱۵ ساعت فاز Se کاملاً حذف شد و فاز غالب سلینید روی تشکیل شد. بنابراین کمترین زمان لازم برای تشکیل نانوذرات سلینید روی خالص در دمای ۱۳۰ درجه سانتی‌گراد، ۱۵ ساعت است.

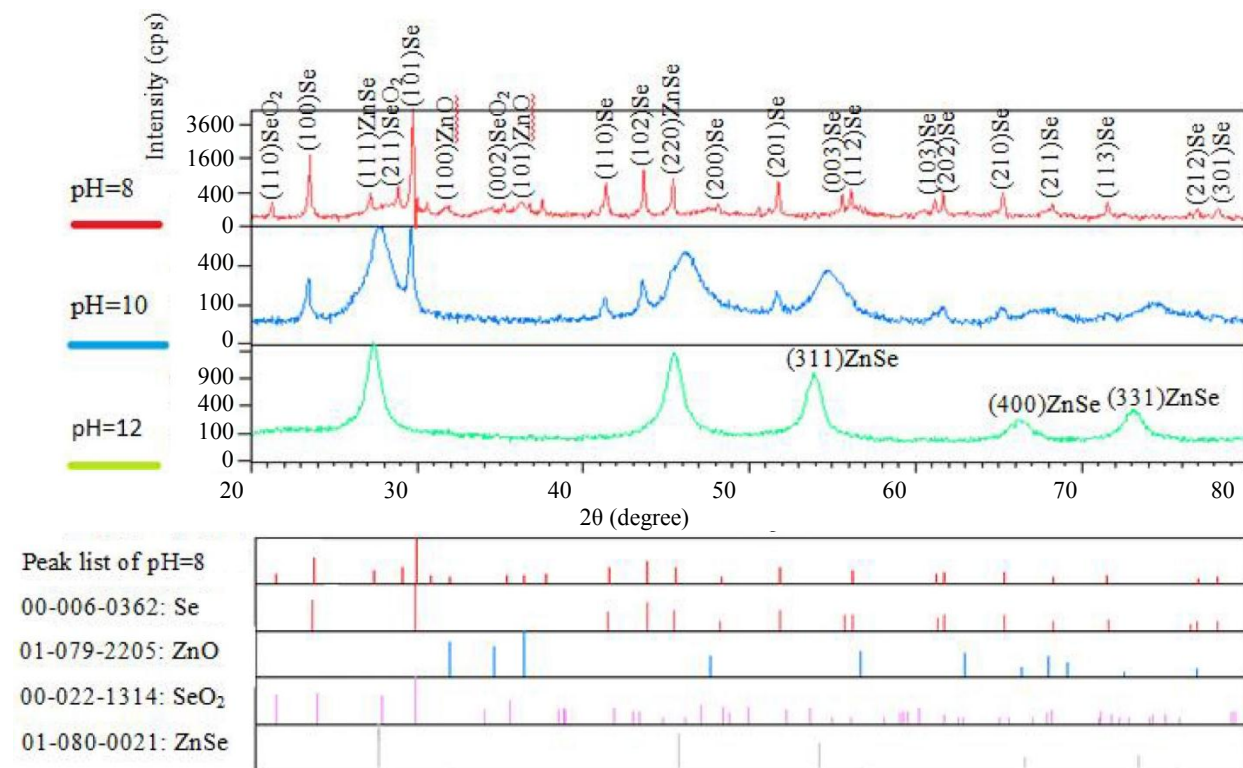
### ۲-۳-۲- اثر زمان ستز

در شکل (۷) اثر زمان ستز بر نوع فاز تشکیل شده، نشان داده شده است. آزمون‌ها در دمای ۱۳۰ درجه سانتی‌گراد به مدت ۶، ۱۰ و ۱۵ ساعت انجام شد. نسبت مولی  $\text{SeO}_2:\text{Zn}(\text{Ac})_2:\text{NaBH}_4 = 1:1:4$  بود. نتایج پراش سنجی پرتو ایکس نشان می‌دهد که در دمای ۱۳۰ درجه سانتی‌گراد پس از ۶ ساعت، فاز غالب، سلینیوم



شکل ۶- الگوی پراش پرتو ایکس سلنید روی در دمای ۱۵ ساعت

شکل ۷- الگوی پراش پرتو ایکس سلنید روی در زمانهای مختلف سنتز در دمای  $130^{\circ}$  درجه سانتی گراد



شکل -۸- الگوی پراش پرتو ایکس سلنید روی در pHهای مختلف

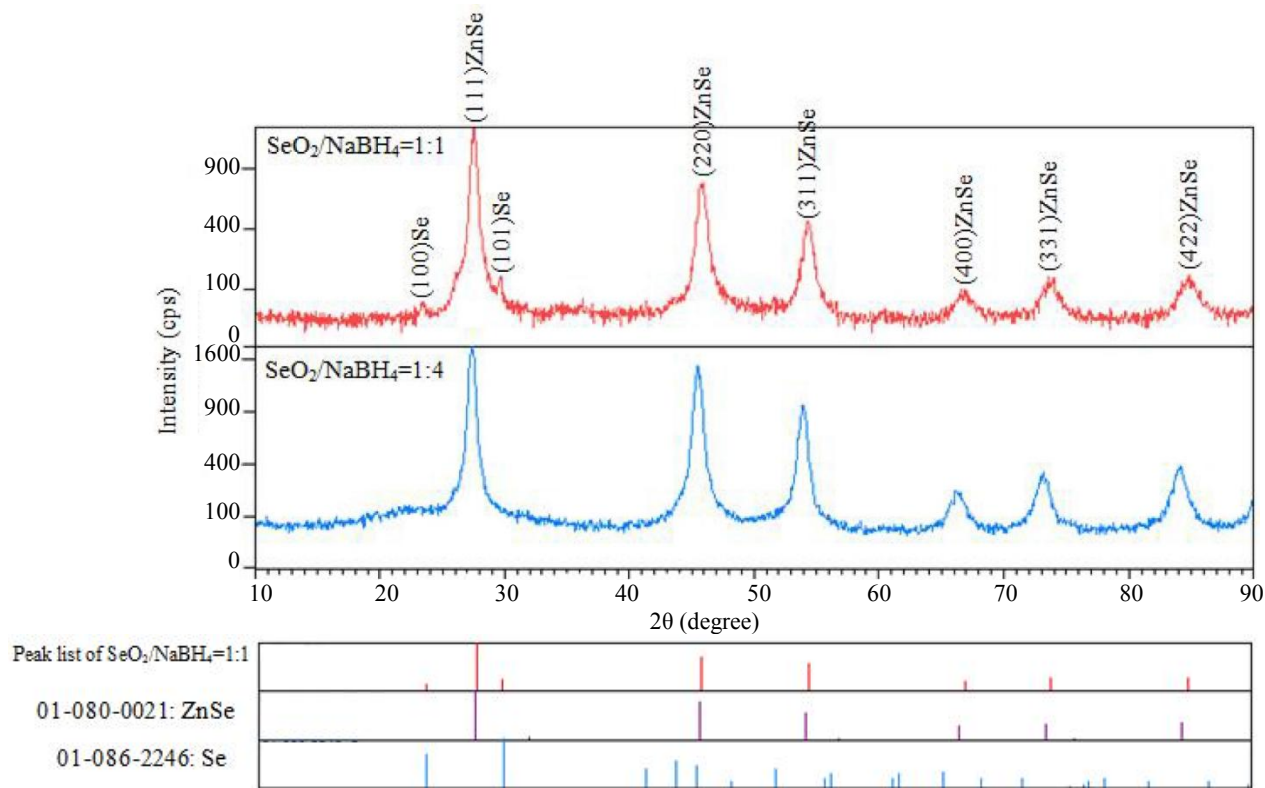
مختلف عامل Se به عامل احیا کننده به صورت  $\text{SeO}_2/\text{NaBH}_4 = 1:1$  نشان داده شده است. این آزمون‌ها در دمای  $13^\circ\text{C}$  درجه سانتی‌گراد به مدت ۱۵ ساعت، نسبت مولی  $\text{Zn}(\text{Ac})_2/\text{SeO}_2 = 1:1$  پنج میلی‌مول، غلاظت مرکپتو استیک اسید  $2\text{ mM}$  میلی‌لیتر و  $\text{pH} = 12$  انجام شد. الگوی پراش با نسبت مولی  $\text{SeO}_2/\text{NaBH}_4 = 1:4$  شامل فاز غالب سلنید روی و برای نسبت مولی  $\text{SeO}_2/\text{NaBH}_4 = 1:1$  شامل فازهای سلنید روی و Se است. در پژوهش حاضر به دلیل وارد شدن ناخالصی سدیم از عامل احیا کننده هیدرید بور سدیم به محصول، مقدار آن باید طوری در نظر گرفته شود که هم تواند تمامی  $\text{Se}^{2-}$  را به تبدیل کند و هم کمترین میزان ناخالصی را به محصول نهایی وارد کند. بنابراین نسبت  $\text{SeO}_2/\text{NaBH}_4 = 1:4$  می‌تواند به عنوان نسبت مناسب انتخاب شود. این آزمون تأیید می‌کند که برای تشکیل فاز غالب سلنید روی نیاز به مقادیر مولی بیش از مقادیر استوکیومتری هیدرید بور سدیم مورد نیاز است.

۳-۳-۳-۳

شکل (۸) اثر pH بر نوع فاز تشکیل شده را نشان می‌دهد. این آزمون‌ها در دمای  $130^{\circ}\text{C}$  درجه سانتی‌گراد به مدت ۱۵ ساعت، نسبت مولی پیش‌ماده‌ها  $\text{SeO}_2:\text{Zn}(\text{Ac})_2:\text{NaBH}_4 = 1:1:4$ ، مرکپتو استیک اسید  $0.2\text{ میلی لیتر}$  و  $\text{SeO}_2$  پنج میلی مول انجام شد. پراش‌سنجدی پرتو ایکس نشان می‌دهد در  $\text{pH} = 8$  فازهای سلنیوم،  $\text{SeO}_2$  و  $\text{ZnO}$  و سلنید روی تشکیل شد. با افزایش pH به  $10$ ، فازهای  $\text{ZnO}$  و  $\text{SeO}_2$  حذف شد و فازهای Se و سلنید روی تشکیل شدند. در  $\text{pH} = 12$  فقط فاز غالب سلنید روی تشکیل شد. دلیل حساس بودن تشکیل فاز سلنید روی به pH به خاطر این است که عامل احیا کننده هیدرید بور سدیم فقط در pH قیایی قدرت احیاکنندگی کامل برای تبدیل  $\text{Se}^{2-}$  به  $\text{Se}^{4+}$  است.]

$\text{NaBH}_4$  و  $\text{SeO}_2$  اثی نست مولی

الگوهای پر اش، پر تو ایکس نانوذرات با نسبت‌های مولی

شکل ۹- الگوی پرتو ایکس سلنید روی نسبت‌های مولی مختلف  $\text{SeO}_2/\text{NaBH}_4$ 

به دست نمی‌آید. با توجه به اینکه عامل پایدار کننده مرکپتو استیک اسید، ناخالصی گوگرد به محصول نهایی وارد می‌کند، بیشتر کردن غلظت عامل پایدار کننده (بیشتر از  $0.2\text{ میلی لیتر}$ ) منطقی نیست. باید میزان عامل پایدار کننده حالت بهینه انتخاب شود تا هم ذرات فرآوری شده، ریز و توزیع باریکی داشته باشند، هم فاز خالص سلنید روی تشکیل شود و هم ناخالصی کمتری به محصول وارد شود. بنابراین غلظت مرکپتو استیک اسید  $0.2\text{ میلی لیتر}$  با توجه به نتایج پردازشی پرتو ایکس و میکروسکوپی الکترونی روبشی گسیل میدانی می‌تواند مقدار مناسبی برای این منظور باشد.

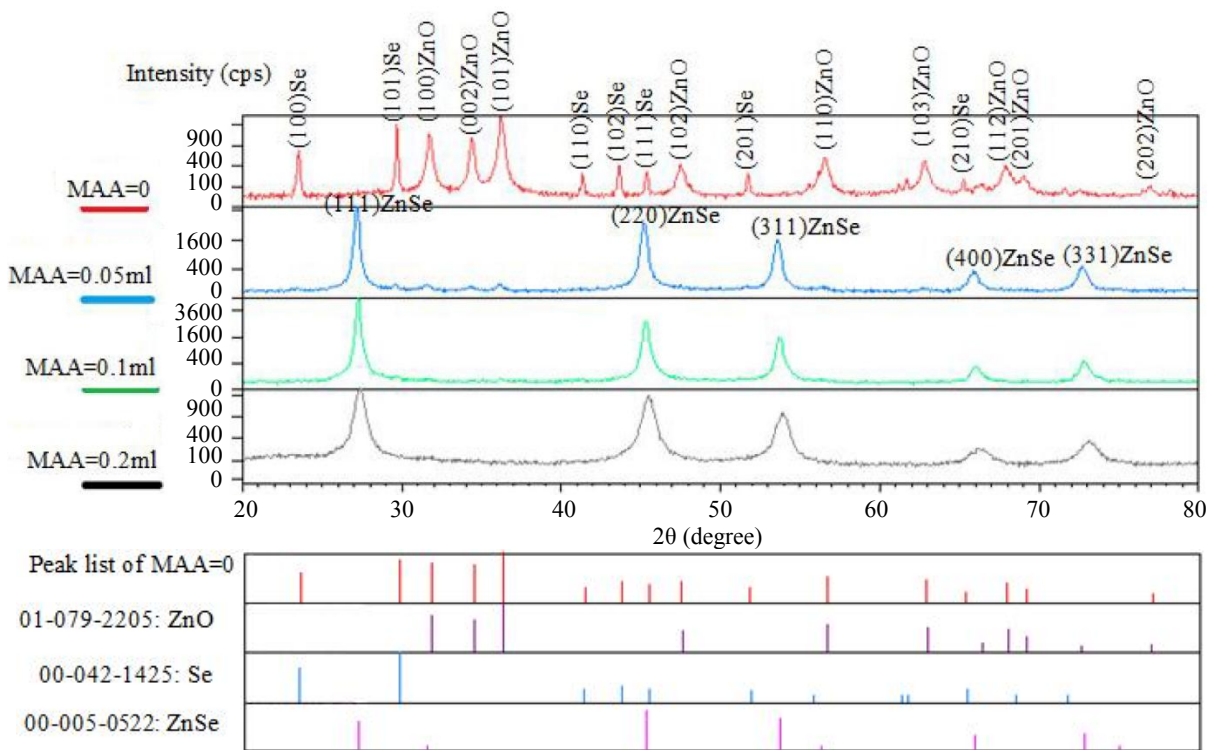
### ۳-۶-۱- اثر نسبت مولی عامل $\text{Zn}$ به $\text{Se}$

الگوهای پردازش پرتو ایکس نانوذرات در نسبت‌های مولی مختلف عامل  $\text{Zn}(\text{Ac})_2/\text{SeO}_2$  به صورت  $1:1$ ،  $1:2$  و  $2:1$  در شکل (۱۱) نشان داده شده است.

### ۳-۳-۵- اثر غلظت عامل پوشاننده

در شکل (۱۰) الگوی پردازش پرتو ایکس در غلظت‌های عامل پوشاننده  $0.1\text{، }0.2\text{، }0.5\text{ میلی لیتر}$  و صفر نشان داده شده است. این آزمون‌ها در دمای  $130^\circ\text{C}$  درجه سانتی‌گراد به مدت ۱۵ ساعت، نسبت مولی  $\text{SeO}_2:\text{Zn}(\text{Ac})_2:\text{NaBH}_4 = 1:1:4$  پنج میلی‌مول و  $\text{pH} = 12$  انجام شد. نتایج پردازشی پرتو ایکس نشان می‌دهد در صورتی که غلظت عامل پوشاننده  $0.2\text{ و }0.1\text{ میلی لیتر}$  باشد، فاز غالب سلنید روی تشکیل شده است، اما در صورتی که مرکپتو استیک اسید  $0.5\text{ میلی لیتر}$  باشد، فازهای  $\text{ZnO}$  و سلنید روی تشکیل می‌شود و اگر غلظت مرکپتو استیک اسید صفر باشد، فاز سلنید روی تشکیل نشده و فازهای  $\text{Se}$  و  $\text{ZnO}$  تشکیل می‌شوند.

عامل پایدار کننده نقش مهمی در آماده کردن یون‌های  $\text{Zn}^{2+}$  برای واکنش با  $\text{Se}^{2-}$  دارد [۱۴]. اگر عامل پایدار کننده به محلول اضافه نشود، آماده‌سازی لازم انجام نگرفته و فاز سلنید روی



شکل ۱۰- الگوی پرتو ایکس سلینید روی در غلظت‌های مرکپتو استیک اسید مختلف

ستنتر ۱۳۰ درجه سانتی‌گراد، زمان ۱۵ ساعت، مرکپتو استیک اسید ۰/۲ میلی لیتر،  $\text{SeO}_2$  پنج میلی مول،  $\text{pH}=12$  و  $\text{NaBH}_4=1:1:4$ : $\text{SeO}_2:\text{Zn}(\text{Ac})_2$  که دارای فاز غالب سلینید روی با ساختار بلوری مکعبی است و ریخت آن کروی با متوسط اندازه ذرات ۱۹ نانومتر است و توزیع اندازه ذرات باریکی دارد، انتخاب شد و آزمون‌های طیف‌سنجی مادون قرمز تبدیل فوریه، طیف‌سنجی پلاسمای جفت شده القایی و آنالیز حرارتی همزمان برای این نمونه انجام گرفت.

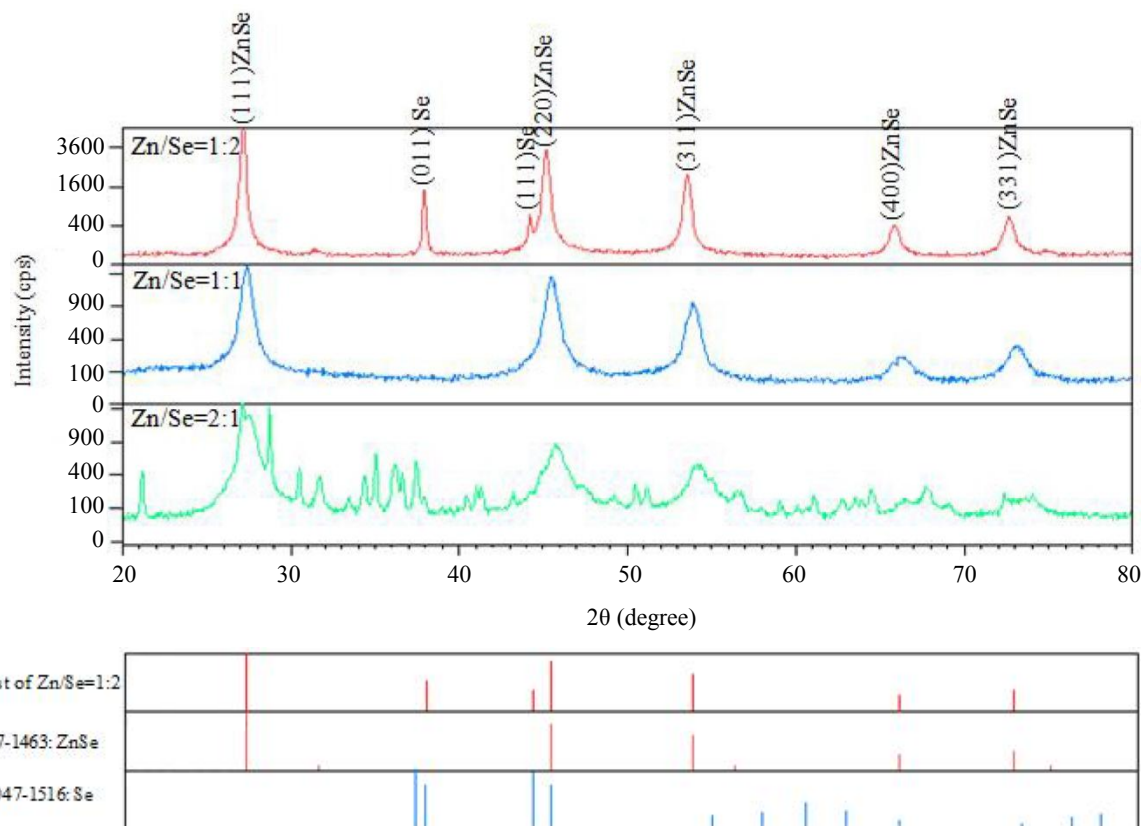
شکل (۱۲) طیف مادون قرمز تبدیل فوریه با عامل پوشاننده مرکپتو استیک اسید را نشان می‌دهد. طیف‌سنجی مادون قرمز تبدیل فوریه برای تعیین ترکیب شیمیایی گروه‌های عاملی مرکپتو استیک اسید روی سطح نانوذرات سلینید روی انجام شد. این طیف‌ها با طیف مادون قرمز تبدیل فوریه مرکپتو استیک اسید خالص، مقایسه شدند.

این آزمون‌ها در دمای ۱۳۰ درجه سانتی‌گراد، زمان ۱۵ ساعت، مرکپتو استیک اسید ۰/۲ میلی لیتر،  $\text{SeO}_2/\text{NaBH}_4=1:4$ ، استات روی پنج میلی مول و  $\text{pH}=12$  انجام شد. فازهای سلینید روی و Se در نسبت مولی  $\text{Zn}/\text{Se}=1:2$  و در نسبت مولی  $\text{Zn}/\text{SeO}_3=2:1$  فازهای  $(\text{SeO}_3)_4$  و سلینید روی تشکیل شدند. در صورتی که نسبت مولی عامل Se به Zn برابر باشد ( $=1:1$ : $\text{SeO}_2/\text{Zn}(\text{Ac})_2$ )، فاز غالب سلینید روی به دست آمد.

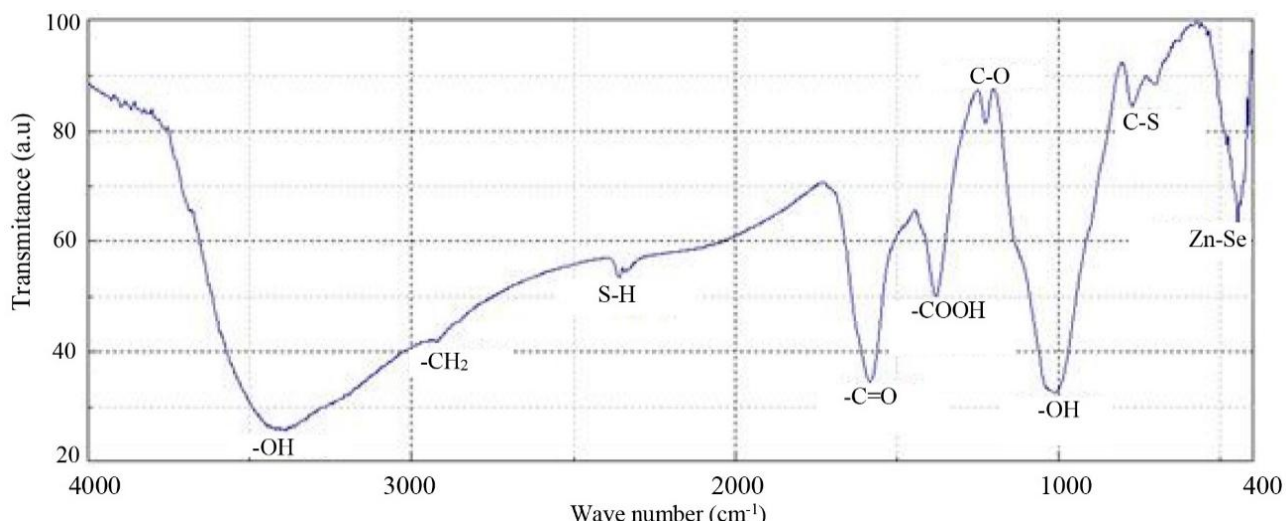
#### ۴-۳- تعیین نمونه منتخب

#### ۴-۳-۱- شرایط بهینه ستز

با توجه به نتایج میکروسکوپی الکترونی روبشی گسیل میدانی و پرash سنجی پرتو ایکس و هدف‌گذاری پروژه که تولید نانوذرات با ریخت کروی، توزیع اندازه ذرات باریک و ساختار بلوری مکعبی است، شرایط مناسب ستز و نسبت پیش‌ماده‌های مناسب انتخاب شد. بنابراین، نمونه با دمای



شکل ۱۱- الگوی پراش پرتو ایکس سلینید روی در نسبت مولی مختلف  $\text{Zn}(\text{Ac})_2/\text{SeO}_2$



شکل ۱۲- طیف مادون قرمز تبدیل فوریه نانوذرات سلینید روی با عامل پوشاننده مرکپتو استیک اسید

نسبت داده می شود [۱۷]. نوار جذب در ۱۵۷۲، ۲۳۵۸، ۲۹۲۶ و ۱۳۸۶ بر سانتی متر به ترتیب مربوط به پیوندهای  $-\text{CH}_2$ ،  $-\text{CO}_2$ ، ارتعاش نامتقارن  $\text{COO}^-$  و ارتعاش متقارن  $\text{COO}^-$  است [۱۸].

در شکل (۱۲) نوار جذب در حدود ۳۳۹۷ بر سانتی متر مربوط به ارتعاشات کششی پیوند O-H است که به آب جذب شده سطحی یا O-H موجود در مرکپتو استیک اسید،

جدول ۱- نتایج آزمون پلاسمای جفت شده القایی از نانوذرات ZnSe

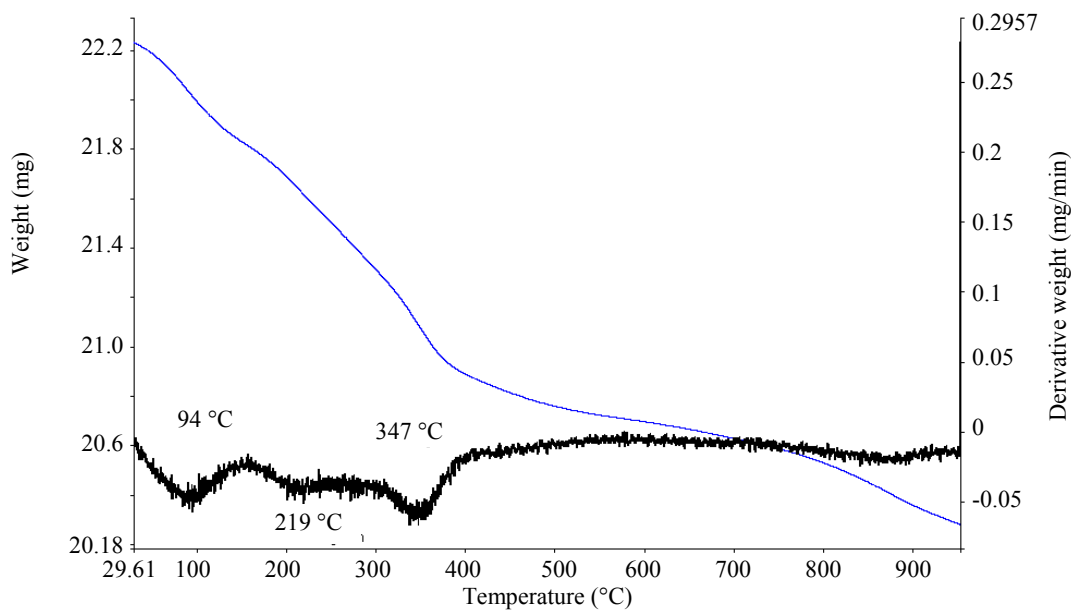
ردیف	عنصر	آلومینیوم (ppm)	کلسیم	آهن	پتاسیم	سدیم	گوگرد	بقیه عناصر
۱	میزان ناخالصی	۱۱۳۴	۶۸۳	۳۸۹	۱۸۰۷	۳۳۹۳	۲۴۹۵۳	۴۲۷
۲	میزان ناخالصی	<۱۰۰	۱۰۴	۲۱۶	<۱۰۰	۲۲۷۳	۱۲۹۲۴	۱۸۴

استات روی و هیدرید بور سدیم است. با وجود این، اگرچه ناخالصی‌های گوگرد (S) و سدیم (Na) در ردیف ۲ نسبت به ردیف ۱ بسیار کاهش پیدا کرده است، اما همچنان این ناخالصی‌ها بدلیل استفاده از پیش‌ماده‌های NaOH و هیدرید بور سدیم (عامل ناخالصی سدیم) و مرکپتو استیک اسید (عامل ناخالصی گوگرد) وجود دارند.

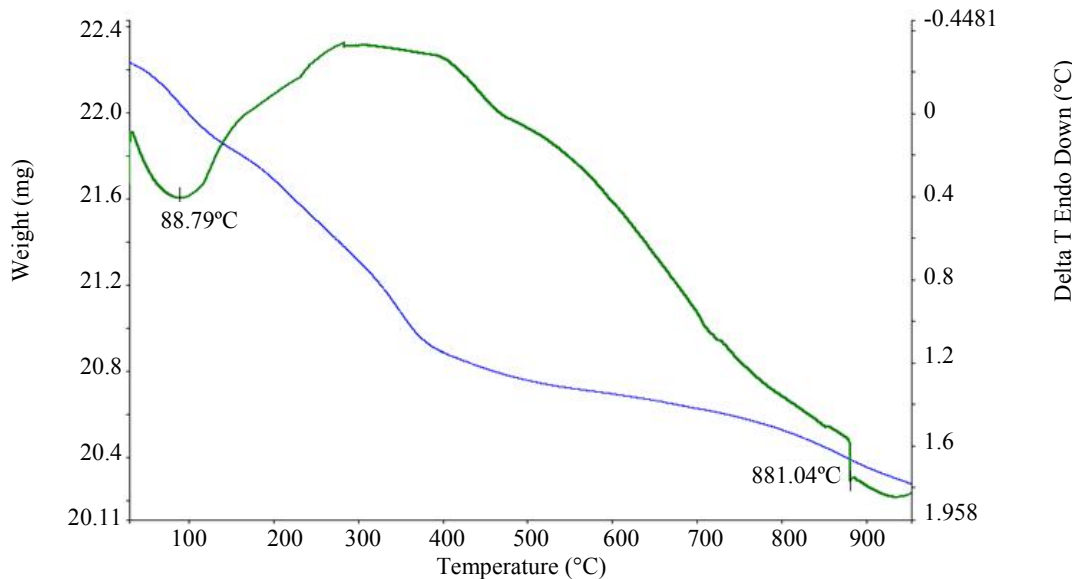
**۴-۴-۳- تجزیه و تحلیل نتایج آزمون حرارتی همزمان نتایج آزمون حرارتی همزمان در شکل‌های (۱۳) و (۱۴) نشان داده است. همان‌طور که در نمودار گرمای وزن‌سنگی / مشتق گرمای وزن‌سنگی (شکل ۱۳) مشاهده می‌شود، سه قله در نمودار DTG وجود دارد. قله اول در دمای ۹۴/۱۲ درجه سانتی‌گراد به میزان ۹/۰ درصد کاهش وزن در نمونه نشان داد. این کاهش وزن، بیشتر به‌دلیل خروج رطوبت از نمونه و حذف آب جذب شده به صورت فیزیکی است [۲۱]. قله دوم در دمای ۲۱۹/۵ درجه سانتی‌گراد به‌دلیل حذف آب جذب شده به صورت شیمیابی است که ۲/۷ درصد کاهش وزن در نمونه ایجاد شد [۲۲]. در دمای ۳۴۷/۳۱ درجه سانتی‌گراد یک قله دیگر در نمودار DTG مشاهده شد که به‌دلیل تجزیه مرکپتو استیک اسید است [۱۳]. بنابراین هنگامی که نمونه از دمای اتاق تا دمای ۹۳۵ درجه سانتی‌گراد گرم شد، کاهش وزن کلی نه درصد در نمونه به وجود آمد. مطابق منحنی TG/DTA (۱۴) اولین قله گرمایگیر در دمای ۸۸/۷۹ درجه سانتی‌گراد مربوط به خروج آب از نمونه است. قله بعدی که در محدوده ۲۵۰ تا ۴۰۰ درجه سانتی‌گراد رخ داد، یک فرایند گرمایزاست که ناشی از سوختن مواد آلی مانند مرکپتو استیک اسید است. قله گرمایگیر بعدی در دمای ۸۸/۱ درجه سانتی‌گراد احتمالاً مربوط به تجزیه پیوند Zn-Se و اکسید شدن اتم‌های روی است.**

نوار جذب در ۱۲۲۶، ۱۰۱۶، ۶۹۵ و ۴۴۸ بر سانتی‌متر به ترتیب مربوط به ارتعاش کششی پیوند C-O، ارتعاش خمشی پیوند Zn-Se [۱۹] O-H، ارتعاش کششی پیوند C-S [۱۵] و پیوند S-H است. نوار جذب در ۲۳۵۸ بر سانتی‌متر مربوط به ارتعاش کششی پیوند S-H است. به‌دلیل اتصال پیوند Zn با S، پیوند S-H در نمونه سلینید روی نسبت به پیوند S-H در مرکپتو استیک اسید خالص، مقداری جای‌جا شده است (نوار جذب پیوند S-H در مرکپتو استیک اسید خالص، ۲۵۶۰ بر سانتی‌متر است). این نتایج نشان می‌دهد که S-H به اتم‌های Zn موجود در سلینید روی متصل شده است و یک گروه کربوکسیلیک اسید قطبی را روی سطح نانوذرات سلینید روی نگهداشته است. بنابراین نتایج مادون قرمز تبدیل فوریه نشان می‌دهند که نانوذرات سلینید روی توسط مولکول‌های مرکپتو استیک اسید پوشیده شده‌اند [۱۹].

**۳-۴-۳- طیف‌سنگی نشر نور با پلاسمای جفت شده القایی نتایج طیف‌سنگی پلاسمای جفت شده القایی نانوذرات سلینید روی در جدول (۱) آمده است. در این جدول ناخالصی‌های روی در حدود ۱۰۰ ppm آورده شده است. داده‌های ردیف ۱ مربوط به نتایج نمونه سلینید روی بدون انجام اصلاحات است. داده‌های ردیف ۲ با انجام اصلاحاتی از جمله شستشوی بیشتر با آب مقطر و استفاده از آب مقطر با خلوص بالاتر به دست آمد. با توجه به نتایج ردیف ۲، خلوص نمونه با انجام اصلاحات، ۹۸/۵ درصد محاسبه شد. همان‌طور که مشاهده می‌شود، ناخالصی پتاسیم (K)، کلسیم (Ca) و آلومینیم (Al) در ردیف ۲ به حدود ۱۰۰ ppm یا کمتر کاهش پیدا کرد و ناخالصی آهن (Fe) به مقدار ۲۱۶ ppm رسید. ناخالصی آهن مربوط به پیش‌ماده‌های**



شکل ۱۳- نمودار گرمای وزن سنجی / مشتق گرمای وزن سنجی نمونه ZnSe



شکل ۱۴- نمودار گرمای وزن سنجی/تفاضل حرارتی نمونه ZnSe

ستز ۱۸۰ تا ۲۲۰ درجه سانتی گراد به مدت ۱۸ ساعت، نانوذرات کروی با فاز سلنید روی غالب به دست آمده است [۱۰]؛ یا در مقاله دیگری در دمای ۱۶۰ درجه سانتی گراد، نانوذرات کروی سلنید روی با اندازه ۱۰ تا ۳۰ نانومتر تهیه شده است و در دماهای کمتر، محصول شامل فازهای سلنید روی، ZnO و Se بوده است [۲۳]. به این ترتیب، نانوذرات سلنید

نتایج آزمون حرارتی هم‌مان نشان‌دهنده حضور مرکپتو استیک اسید روی سطح نمونه است که با نتایج مادون قرمز تبدیل فوریه مطابقت دارد [۱۷].

در هیچ یک از گزارش‌های قبلی مطالعه شده، در دمای ۱۳۰ درجه سانتی گراد، نانوذرات کروی با توزیع اندازه باریک به دست نیامده است. به عنوان مثال در مقاله‌ای مشابه، در دمای

و عناصر روی و سلنیوم به صورت یکنواخت در نانوذرات توزیع شده‌اند. نتایج طیف‌سنجی مادون قرمز تبدیل فوریه و آنالیز حرارتی همزمان نشان داد که نانوذرات سلنید روی به خوبی توسط مولکول‌های مرکپتو استیک اسید پوشیده شده‌اند.

#### ۴- نتیجه‌گیری

در این پژوهش برای تهیه نانوذرات سلنید روی، از روش هیدروترمال استفاده شد. مواد اولیه استات روی، اکسید سلنیوم، هیدرید بور سدیم، مرکپتو استیک اسید و NaOH استفاده شد. هیدرید بور سدیم، مرکپتو استیک اسید و NaOH به عنوان عامل احیا کننده، مرکپتو استیک اسید به عنوان عامل پوشاننده و کنترل کننده رشد ذرات و NaOH به عنوان تنظیم کننده pH است. اثر شرایط مختلف دما و زمان بر اساس نسبت مولی SeO<sub>2</sub>/Zn(Ac)<sub>2</sub>/NaBH<sub>4</sub>، غلظت عامل پوشاننده مرکپتو استیک اسید و نسبت مولی SeO<sub>2</sub>/Zn(Ac)<sub>2</sub> بررسی شد. بر اساس نتایج پراش‌سنجی پرتو ایکس و میکروسکوپ الکترونی روبشی گسیل میدانی، کمترین دما و زمان در روش هیدروترمال برای سنتز نانوذرات سلنید روی، دمای ۱۳۰ درجه سانتی‌گراد و زمان ۱۵ ساعت به دست آمد.

#### تشکر و سپاسگزاری

نویسنده‌گان مقاله از حمایت‌های مالی دانشگاه صنعتی مالک اشترا برای انجام این پژوهش تقدیر و تشکر دارند. همچنین، نویسنده‌گان مقاله اذعان دارند هیچ تضاد منافعی برای این مقاله با هیچ شخص یا سازمانی وجود ندارد.

روی با متوسط اندازه حدود ۲۰ نانومتر با ریخت کروی، فاز بلوری مکعبی و توزیع اندازه ذرات باریک حاصل شد. دلیل توزیع اندازه ذرات باریک استفاده از عامل احیا کننده قوی (NaBH<sub>4</sub>)، ایجاد فوق اشباع بالای یون‌های Se<sup>2-</sup> در محلول، کاهش شعاع بحرانی جوانه‌زنی و احتمالاً رشد سطح محدود از نوع رشد چند‌هسته‌ای است. بر اساس نتایج میکروسکوپی الکترونی روبشی گسیل میدانی با افزایش دمای فرایند هیدروترمال یا کاهش غلظت عامل پوشاننده، اندازه نانوذرات افزایش یافت و توزیع اندازه آنها گسترده‌تر شد. بر این اساس و با توجه به دما و زمان گفته شده، شرایط بهینه سنتز عبارتند از: pH=۱۲، نسبت مولی SeO<sub>2</sub>/Zn(Ac)<sub>2</sub>/NaBH<sub>4</sub>=۱:۴:۱، مركپتو استیک اسید ۰/۲ میلی لیتر، SeO<sub>2</sub> پنج میلی مول. همچنین نسبت بهینه عامل روی به عامل پایدار کننده مرکپتو استیک اسید، ۰/۵۷:۱ به دست آمد که در گزارش‌های مطالعه شده، مقدار عامل پایدار کننده، برابر یا بیشتر از عامل روی استفاده شده است. در پژوهش‌های گذشته از نسبت‌های مولی پیش‌ماده‌های Se به Zn در مقاله مشابهی از نسبت ۰/۴۷:۱ در مقاله‌ای در مقاله مشابهی از نسبت ۰/۴۷:۱ در [۲۴]، در کار دیگری از دیگر از نسبت مولی ۱:۵:۱ در کار دیگری از نسبت‌های ۱:۳، ۱:۲ و ۲:۱:۱ استفاده شده است [۲۵]. در تمامی این مقالات در الگوهای پراش، به غیر از فاز سلنید روی، فازهای دیگری همچون Se دیده می‌شود. طبق نتایج ICP خلوص نانوذرات سلنید روی ۹۸/۵ درصد به دست آمد. نتایج طیف‌سنجی تفکیک ارزی پرتو ایکس نشان داد که درصد اتمی عناصر روی و سلنیوم در نانوذرات سلنید روی حدود ۱:۱ است

#### واژه‌نامه

- 1. Infrared: IR
- 2. trioctylphosphine oxide (TOPO)
- 3. capping agent
- 4. CTAB : cetyl trimethylammonium bromide :
- 5. sodium dodecyl sulfate (SDS)
- 6. sodium borohydride (NaBH<sub>4</sub>)
- 7. mercaptoacetic acid (MAA)
- 8. field emission scanning electron microscope (FESEM)
- 9. secondary electron (SE)
- 10. back-scattered electron (BSE)
- 11. energy dispersive spectroscopy (EDS)
- 12. X-ray diffraction (XRD)
- 13. inductively coupled plasma (ICP)
- 14. Fourier transform infrared spectroscopy (FTIR)
- 15. simultaneous thermal analyser (STA)
- 16. anchored

## مراجع

- Kumar, P., and Singh, K., "Wurtzite ZnSe Quantum Dots: Synthesis, Characterization and PL Properties", *Journal of Optoelectronic and Biomedical Materials*, Vol. 1, pp. 59-69, 2009.
- Li, C. L., Nishikawam, K., Ando, M., Enomoto, H., and Murase, N., "Highly Luminescent Water-Solube ZnSe Nanocrystals and Their Incorporation in a Glass Matrix", *Colloidal and Surfaces A: Physicochemical and Engineering Aspects*, Vol. 294, pp. 33-39, 2007.
- Liu, G., Yuan, X., Li, J., Chen, K., Li, Y., and Li, L., "Combustion Synthesis of ZnSe with Strong Red Emission", *Materials and Design*, Vol. 97, pp. 33-44, 2016.
- Hutagalung, S. D., Eng, S. T., Ahmad, Z. A., Mat, I., and Wahab, Y., "From Selenate to Zinc Selenide Nanostructures Synthesized by Reduction Process", *Journal of Nuclear and Related Technologies*, Vol. 6, pp. 147-154, 2009.
- Xiong, Sh., Huang, Sh., Tang, A., and Teng, F., "Synthesis and Luminescence Properties of Water-Dispersible ZnSe Nanocrystals", *Materials Letters*, Vol. 29, pp. 5091-5094, 2007.
- Senthilkumar, K., Kalaivani, T., Kanagesan, S., and Balasubramanian, V., "Low Temperature Method for Synthesis of Starch-Capped ZnSe Nanoparticles and Its Characterization Studies", *Journal of Applied Physics*, Vol. 112, pp. 114331-114334, 2012.
- Darroudi, M., Khandan Nasab, N., Salimizand, H., and Dehnad, A., "Green Synthesis and Antibacterial Activity of Zinc Selenide (ZnSe) Nanoparticles", *Nanomedicine Journal*, Vol. 6, No. 4, pp. 258-262, 2019.
- Helal, E. D., Dessouki, H. A., Nassar, M. Y., and Ahmed, I. S., "Preparation and Spectral Analysis of Nanosized ZnSe Particles", *Journal of Basic and Environmental Sciences*, Vol. 5, pp. 20-24, 2018.
- Mollaamin, F., Gharibe, S., and Monajjemi, M., "Synthesis of Various Nano and Micro ZnSe Morphologies by Using Hydrothermal Method", *International Journal of the Physical Sciences*, Vol. 6, pp. 1496-1500, 2011.
- Sobhani, A., and Salavati-Niasari, M., "Optimized Synthesis of ZnSe Nanocrystals by Hydrothermal Method", *Journal of Materials Science: Materials in Electronics*, Vol. 27, pp. 293-303, 2016.
- Beshkar, F., Zinatloo-Ajabshir, S., Bagheri, S., and Salavati-Niasari, M., "Novel Preparation of Highly Photocatalytically Active Copper Chromite Nanostructured Material via a Simple Hydrothermal Route", *PLoS ONE* Vol. 12, No. 6, pp. 0-13, 2017.
- Rogach, A. L., *Semiconductor Nanocrystal Quantum Dots; Synthesis, Assembly and Application*, 2nd ed., Springer, NewYork, 2008.
- Razi, F., Zinatloo-Ajabshir, F., and Salavati-Niasari, M., "Preparation, Characterization and Photocatalytic Properties of Ag<sub>2</sub>ZnI<sub>4</sub>/AgI Nanocomposites via a New Simple Hydrothermal Approach", *Journal of Molecular Liquids*, Vol. 225, pp. 645-651, 2017.
- Ding, Y. L., Bi, J. X., Du, B., Hu, X. Y., and Liu, F. T., "Aqueous Synthesis of Glutathione Capped ZnSe Nanocrystals: Synthesis and Optical Properties", *Materials Research Innovations*, Vol. 17, pp. 142-147, 2013.
- Zinatloo- Ajabshir, S., Mortazavi- Derazkola, S., and Salavati- Niasari, M., "Schiff-Base Hydrothermal Synthesis and Characterization of Nd<sub>2</sub>O<sub>3</sub> Nanostructures for Effective Photocatalytic Degradation of Eriochrome Black T Dye as Water Contaminant", *Journal of Materials Science: Materials in Electronics*, Vol. 28, No. 23, pp. 17849-17859, 2017.
- Mortazavi- Derazkola, M., Zinatloo- Ajabshir, S., and Salavati- Niasari, M., "Facile Hydrothermal and Novel Preparation of Nanostructured Ho<sub>2</sub>O<sub>3</sub> for Photodegradation of Eriochrome Black T Dye as Water Pollutant", *Advanced Powder Technology*, Vol. 28, No. 3, pp. 747-754, 2017.
- Song, R., Liu, Y., and He, L., "Synthesis and Characterization of Mercaptoacetic Acid- Modified ZnO Nanoparticles", *Solid State Sciences*, Vol. 10, pp. 1563-1567, 2008.
- Saikia, K., Deb, P., and Kalita, E., "Facile Synthesis of Highly Luminescent ZnSe(S) Alloyed Quantum Dot for Biomedical Imaging", *Current Applied Physics*, Vol. 13, pp. 925-930, 2013.
- Xie, R., Li, L., Li, Y., Liu, L., Xiao, D., and Zhu, J., "Fe: ZnSe Semiconductor Nanocrystals: Synthesis, Surface Capping, and Optical Properties", *Journal of Alloys and Compounds*, Vol. 509, pp. 3314-3318, 2011.
- Xie, R., Zhang, X., Liu, H., and Sun, H., "Facile and Large-Scale Synthesis of Water-Soluble Fe:ZnSe Semiconductor Nanocrystals", *Materials Letters*, Vol. 100, pp. 47-50, 2013.
- Salem, A., Saion, E., Al-Hada, N. M., Kamari, H. M., Shaari, A. H., and Radiman, Sh. B., "Simple Synthesis of ZnSe Nanoparticles by Thermal Treatment and Their Characterization", *Results in Physics*, Vol. 7, pp. 1175-1180, 2017.
- Hai-qing , J., Jun, C., Zhi-min, L., and Xi, Y., "A Reduction Approach to Prepare ZnSe Nanocrystallites", *Transactions of Nonferrous Metals Society of China*, Vol. 16, pp. 419-422, 2006.
- Gharibe, S., Afshar, S., and Vafayi, L., "Development of a Hydrothermal Method to Synthesize Spherical ZnSe Nano Particles: Appropriate Templates for Hollow Nanostructures", *Chemical Society of Ethiopia*, Vol. 28, pp. 37-44 , 2014.
- Murase, N., and Gao, M., "Preparation and Photoluminescence of Water-Dispersible ZnSe

- Nanocrystals”, *Materials Letters*, Vol. 58, pp. 3898-3902, 2004.
25. Hernández, R., Rosendo, E., Romano-Trujillo, R., Oliva, A. I., García, G., Nieto, G., Díaz, T., Morales, C., Juárez, H., Pacio, M., and Galeazzi, R., “Colloidal Synthesis of ZnSe Nanoparticles at Room Temperature”, *Materials Letters*, Vol. 159, pp. 229-232, 2015.